

# Nowoczesne sieci neuronowe w przetwarzaniu danych

## Wykład

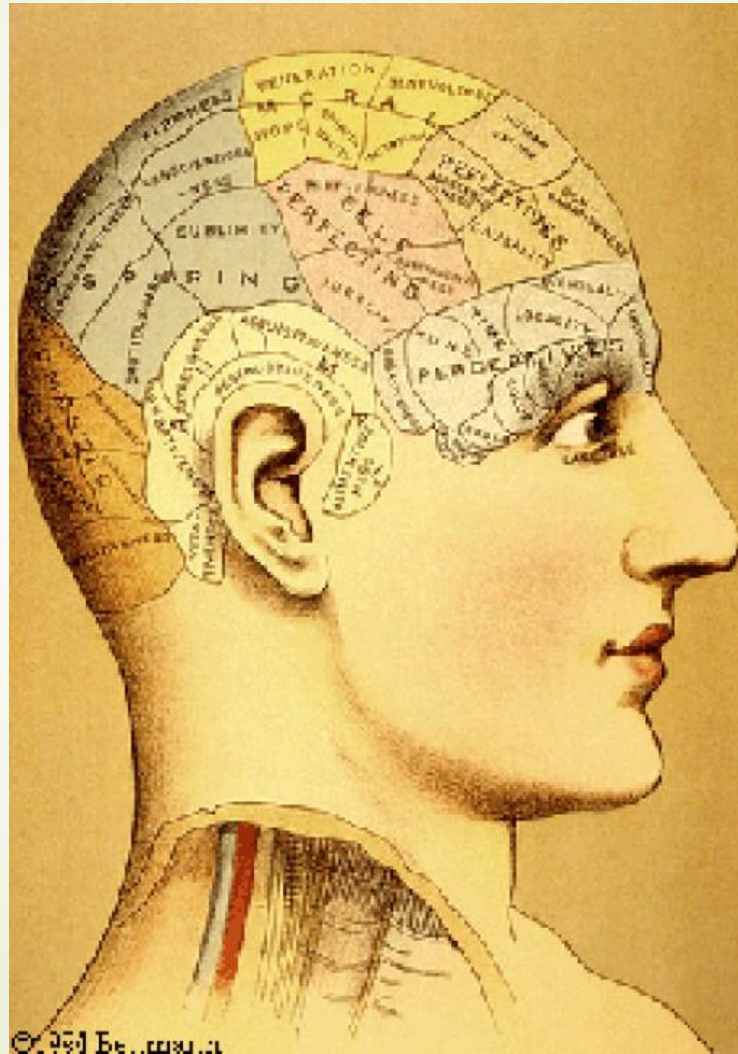


dr hab. inż. **Piotr A. Kowalski**, prof. AGH

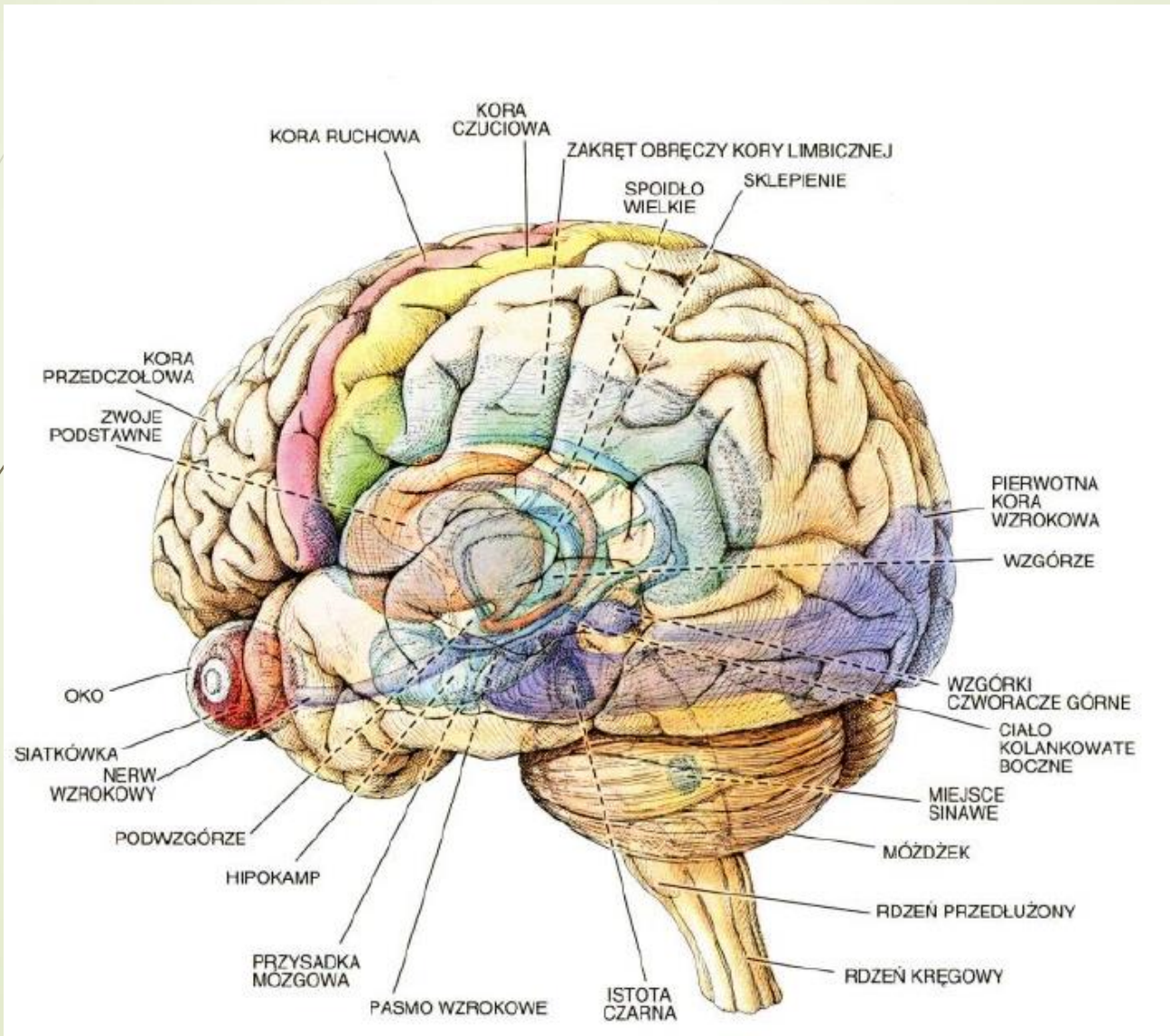
Katedra Informatyki Stosowanej i Fizyki Komputerowej  
Wydział Fizyki i Informatyki Stosowanej AGH

Instytut Badań Systemowych PAN

# Inspiracja biologiczna



# Mózg ludzki – specjalizacja



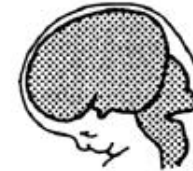
# Mózg ludzki – rozwój



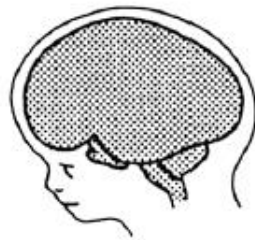
25 dni



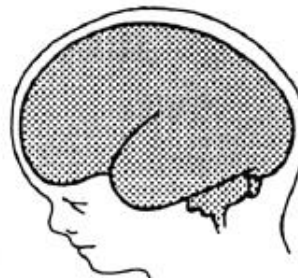
40 dni



100 dni



5 miesięcy



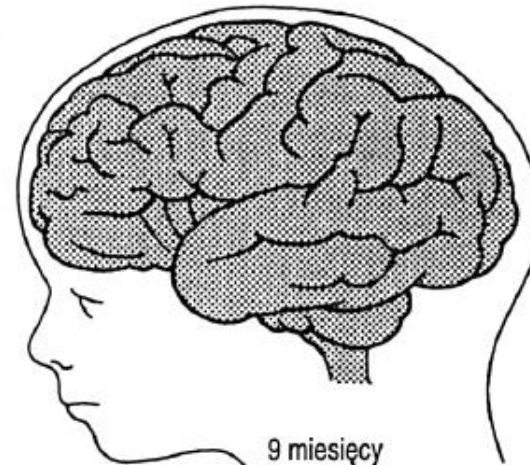
6 miesięcy



7 miesięcy



8 miesięcy



9 miesięcy

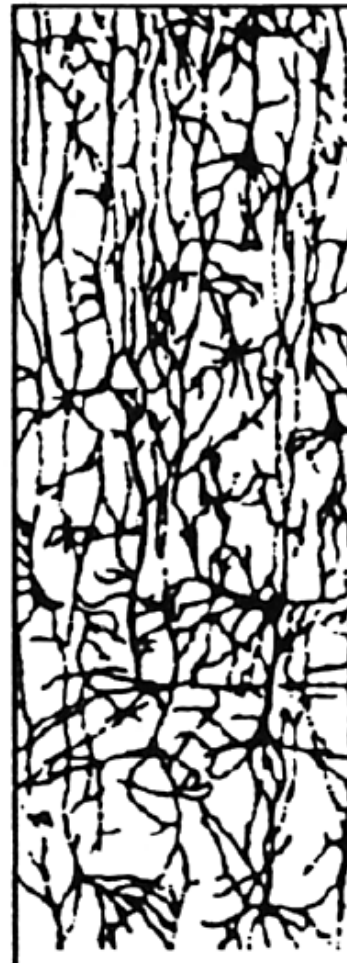
# Mózg ludzki – rozwój kory



noworodek



3 miesiące



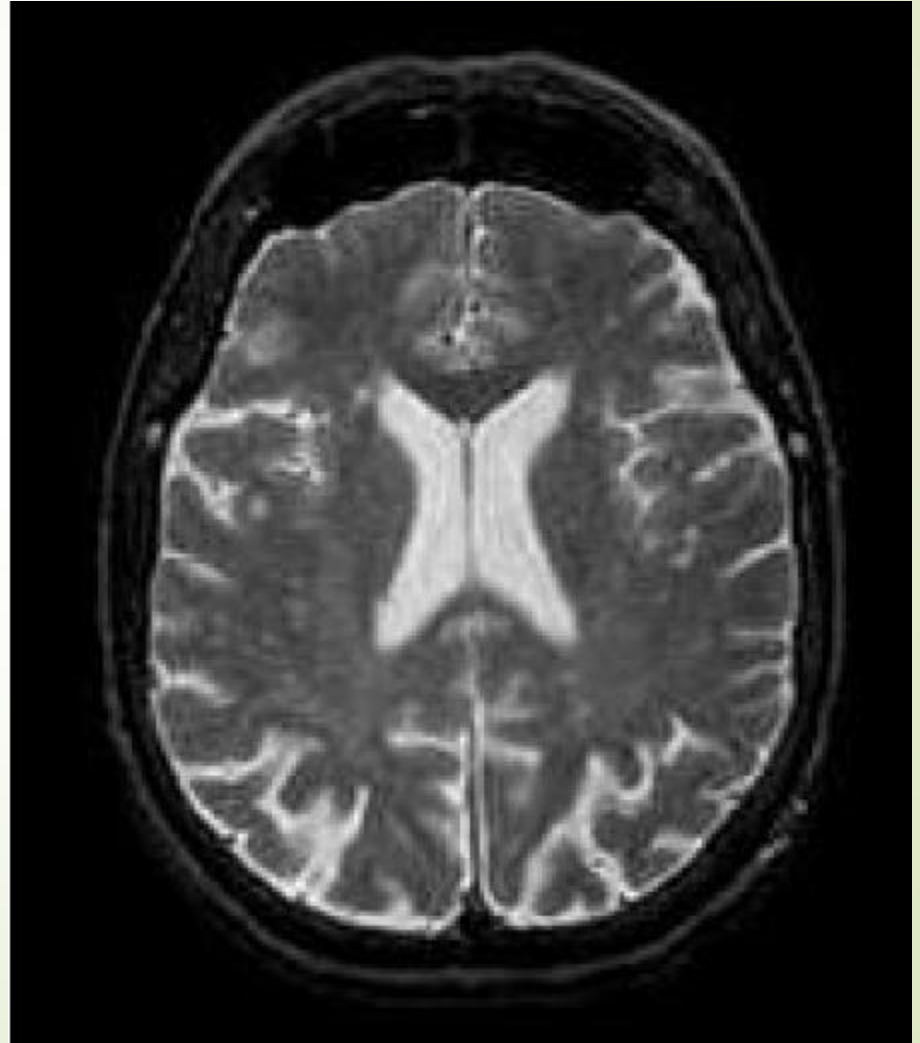
15 miesięcy



2 lata

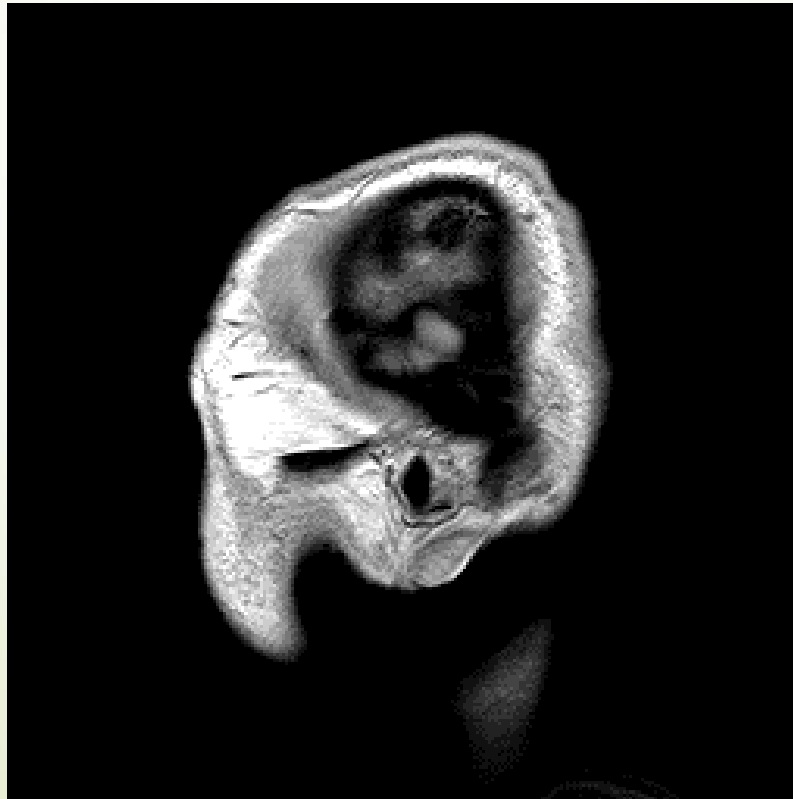
# Mózg ludzki – badanie aktywności metodą RM

- Obrazowanie metodą rezonansu magnetycznego



# Mózg ludzki – badanie aktywności metodą RM

- Obrazowanie metodą rezonansu magnetycznego

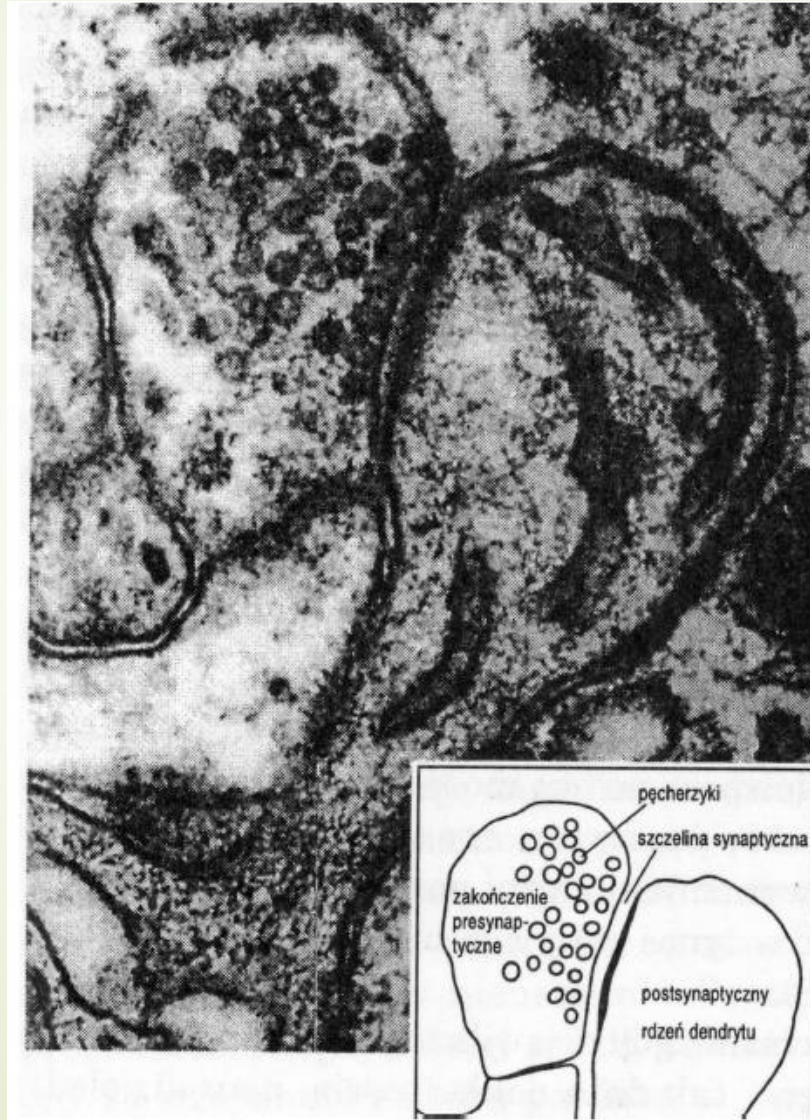


# Neuron

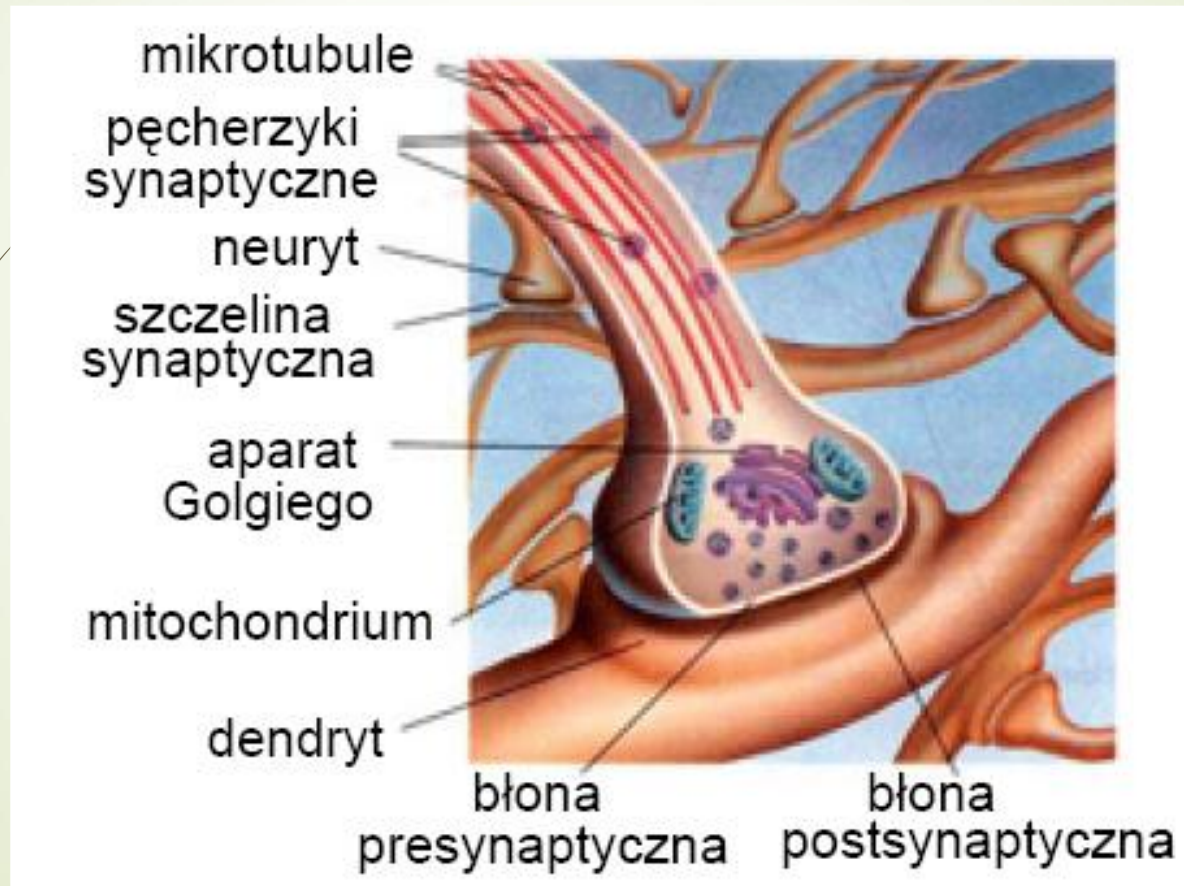




# Wielka lupa - obraz synapsy



# Schemat budowy zakończenia nerwowego i synapsy



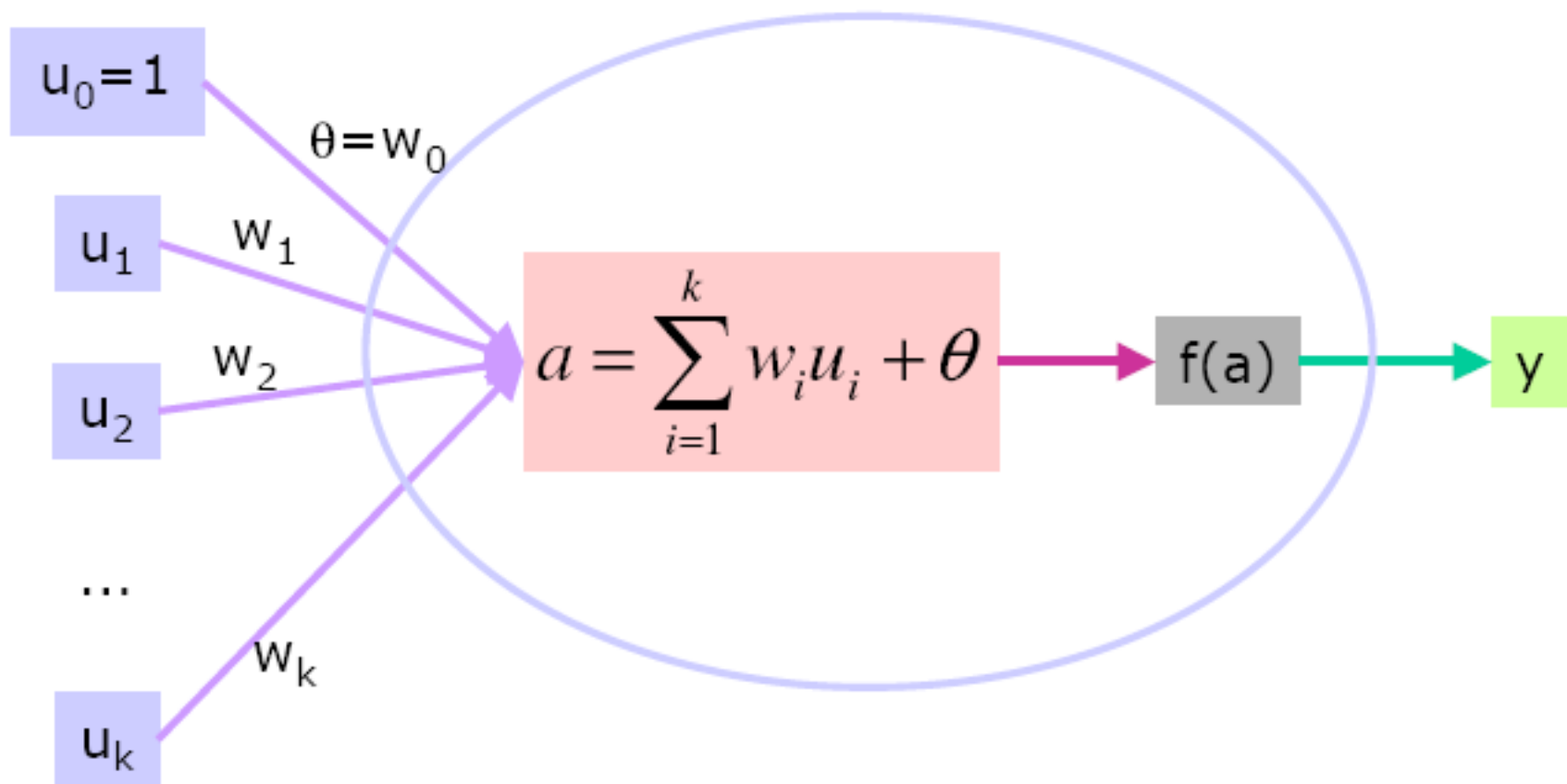
# Mózg (bio) – dane podstawowe

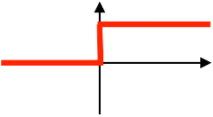
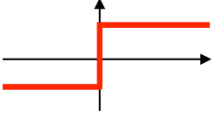
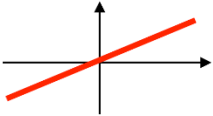
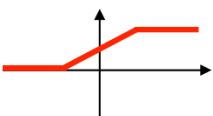
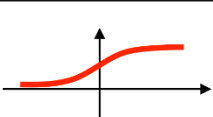
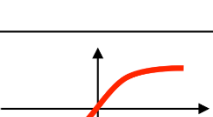
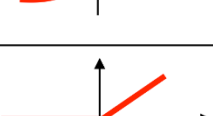
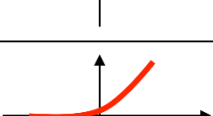
- Mózg składa się z elementarnych komórek nerwowych – **neuronów**.
- Ilość neuronów w mózgu to ok. **10 miliardów**.
- Każdy neuron jest **połączony z  $10^4$  innych komórek**.
- W elementarnej komórce (neuron) przeprowadzane są „proste obliczenia” (ich natura nie jest do końca jasna).
- Przez neurony połączone w sieć, przechodzą **impulsy elektryczne** z różną częstotliwością (1- 100 Hz) i o różnej amplitudzie.
- Mózg jest skuteczny dzięki **zrównolegleniu i szeregowaniu zadań**.

# Model sztucznego neuronu McCulloch-Pitts'a

- 1943 rok – pierwszy matematyczny opis neuronu.
- Najprostszy neuron można sobie wyobrazić jako przetwornik, który pobiera informację ze wszystkich wejść i na ich podstawie emituje sygnał wyjściowy.
- Każde wejście jest mnożone przez pewną wartość zwaną wagą (wzmocnienie lub osłabienie sygnału).
- Sygnały wejściowe są sumowane, by następnie dopasować odpowiedź za pomocą funkcji aktywacji.

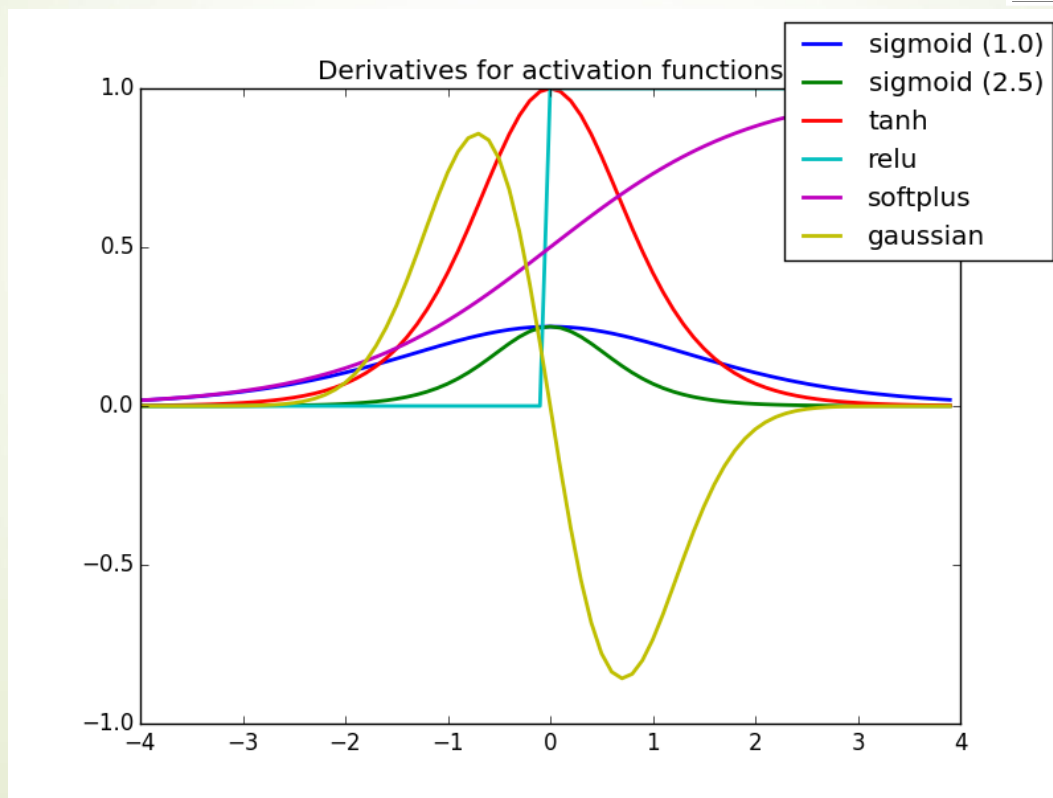
# Model sztucznego neuronu McCulloch-Pitts'a



Activation function	Equation	Example	1D Graph
Unit step (Heaviside)	$\phi(z) = \begin{cases} 0, & z < 0, \\ 0.5, & z = 0, \\ 1, & z > 0, \end{cases}$	Perceptron variant	
Sign (Signum)	$\phi(z) = \begin{cases} -1, & z < 0, \\ 0, & z = 0, \\ 1, & z > 0, \end{cases}$	Perceptron variant	
Linear	$\phi(z) = z$	Adaline, linear regression	
Piece-wise linear	$\phi(z) = \begin{cases} 1, & z \geq \frac{1}{2}, \\ z + \frac{1}{2}, & -\frac{1}{2} < z < \frac{1}{2}, \\ 0, & z \leq -\frac{1}{2}, \end{cases}$	Support vector machine	
Logistic (sigmoid)	$\phi(z) = \frac{1}{1 + e^{-z}}$	Logistic regression, Multi-layer NN	
Hyperbolic tangent	$\phi(z) = \frac{e^z - e^{-z}}{e^z + e^{-z}}$	Multi-layer Neural Networks	
Rectifier, ReLU (Rectified Linear Unit)	$\phi(z) = \max(0, z)$	Multi-layer Neural Networks	
Rectifier, softplus	$\phi(z) = \ln(1 + e^z)$	Multi-layer Neural Networks	

# Dlaczego takie funkcje?

Activation function	Equation	Example	1D Graph
Unit step (Heaviside)	$\phi(z) = \begin{cases} 0, & z < 0, \\ 1, & z > 0, \end{cases}$	Perceptron variant	
Sign (Signum)	$\phi(z) = \begin{cases} -1, & z < 0, \\ 0, & z = 0, \\ 1, & z > 0, \end{cases}$	Perceptron variant	
Linear	$\phi(z) = z$	Adaline, linear regression	
Piece-wise linear	$\phi(z) = \begin{cases} 1, & z \geq \frac{1}{2}, \\ z + \frac{1}{2}, & -\frac{1}{2} < z < \frac{1}{2}, \\ 0, & z \leq -\frac{1}{2}, \end{cases}$	Support vector machine	
Logistic (sigmoid)	$\phi(z) = \frac{1}{1 + e^{-z}}$	Logistic regression, Multi-layer NN	
Hyperbolic tangent	$\phi(z) = \frac{e^z - e^{-z}}{e^z + e^{-z}}$	Multi-layer Neural Networks	
Rectifier, ReLU (Rectified Linear Unit)	$\phi(z) = \max(0, z)$	Multi-layer Neural Networks	
Rectifier, softplus	$\phi(z) = \ln(1 + e^z)$	Multi-layer Neural Networks	



# Cechy sztucznego neuronu - podsumowanie

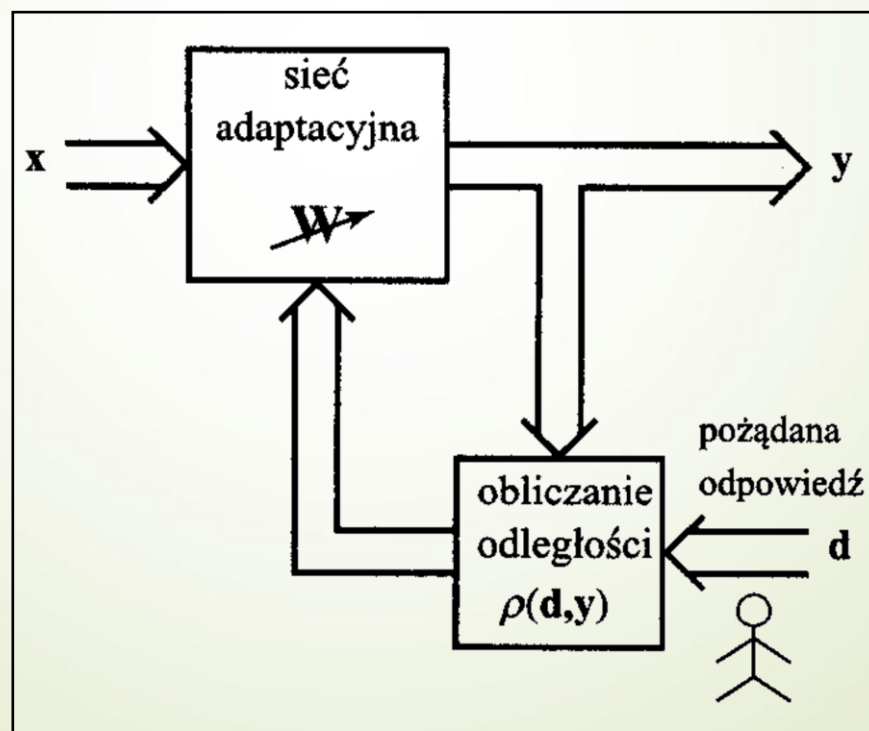
- Wejścia i wagi są liczbami rzeczywistymi dodatnimi bądź ujemnymi.
- Jeżeli jakaś cecha (wejście) powoduje **pobudzenie** neuronu, **waga będzie dodatnia**, jeżeli cecha ma charakter **hamujący waga jest ujemna**.
- Neuron dokonuje **sumowania i dopasowania do progu** – biasu  $\theta$
- Przyjmuje się traktowanie **progu  $\theta$**  jako wagi  $w_0$ , gdzie wejście zawsze jest równe 1.



# Uczenie z nauczycielem

Uczenie z nauczycielem – **nadzorowane** - dla każdego wektora wejściowego wchodzącego w skład zbioru uczącego **znana jest poprawna odpowiedź**.

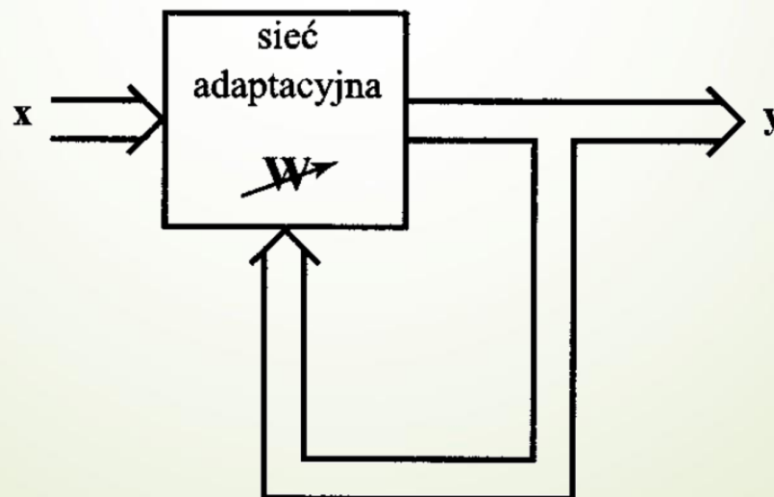
Korekcja wag opiera się na różnicy pomiędzy rzeczywistą a pożądaną odpowiedzią sieci.




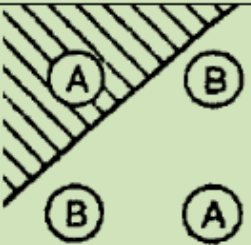



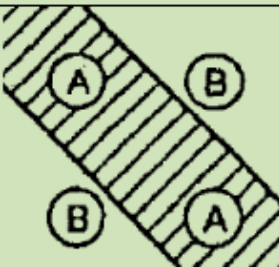
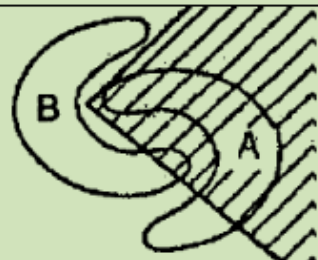
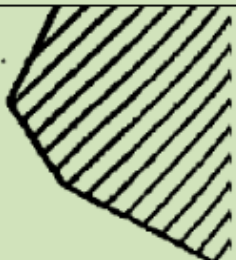
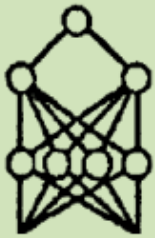
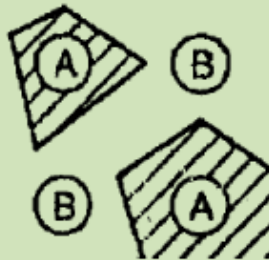
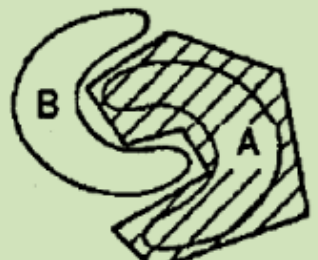

# Uczenie bez nauczyciela

Uczenie bez nauczycielem – **nienadzorowane** – pożądana odpowiedź sieci **nie jest znana**.

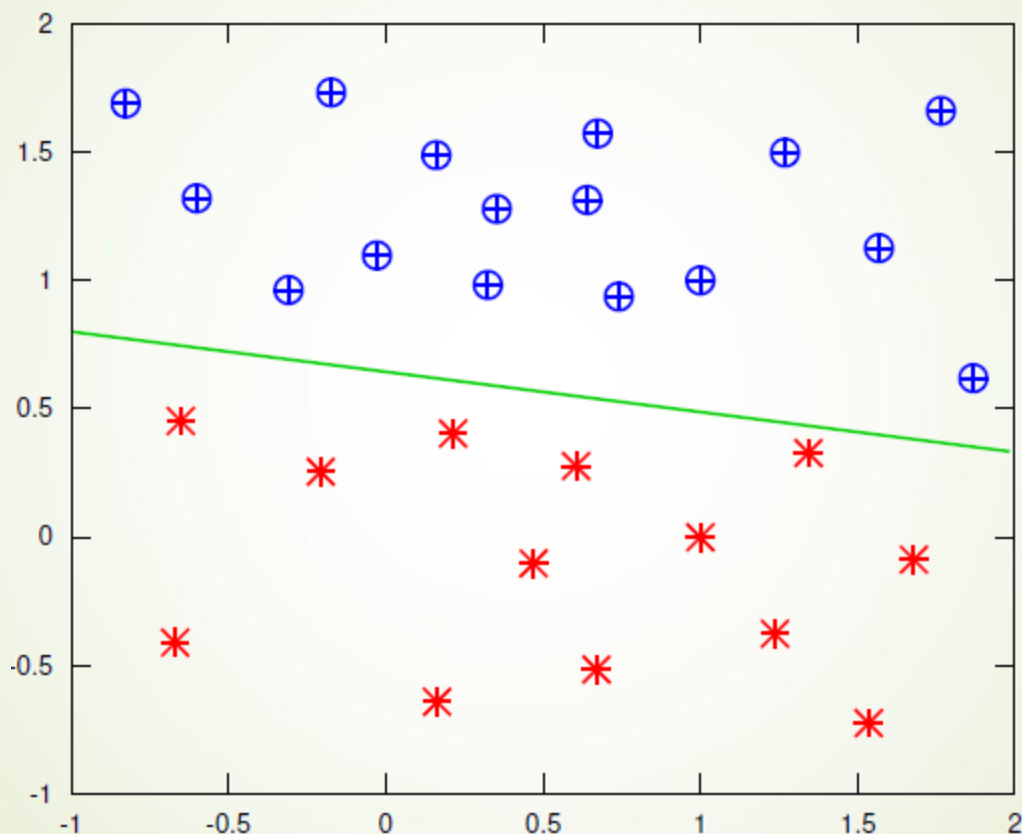
Sieć uczy się poprzez **analizę reakcji na pobudzenia**. W trakcie wykrywania np. skupisk w danych, parametry sieci podlegają zmianom, co nazywamy samoorganizacją.



# Obszary decyzyjne klasyfikatorów wielowarstwowych

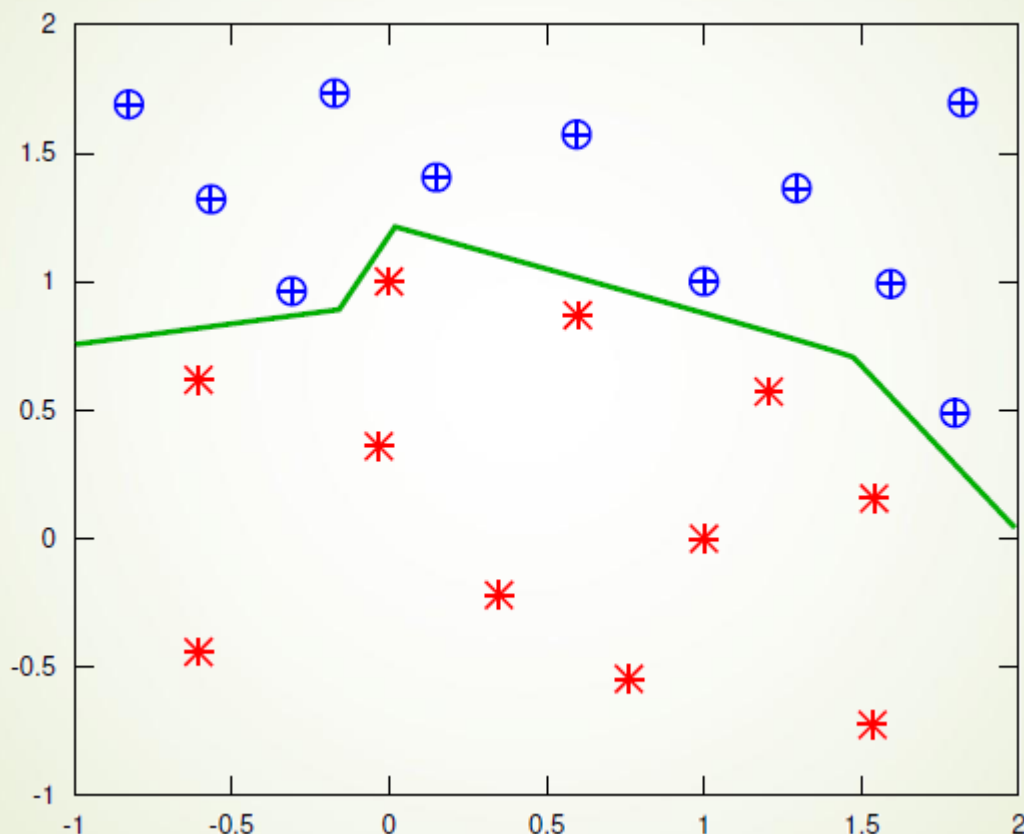
STRUKTURA	REGION DECYZYJI	PROBLEM XOR	KLASY I PODZIAŁ	KSZTAŁTY REJONÓW
<p>1 warstwa</p> 	Półpłaszczyzny			
<p>2 warstwy</p> 	Wypukłe otwarte i zamknięte obszary			
<p>3 warstwy</p> 	Wieloboki z ograniczoną liczbą kątów			

# Dlaczego sieci a nie perceptron ?



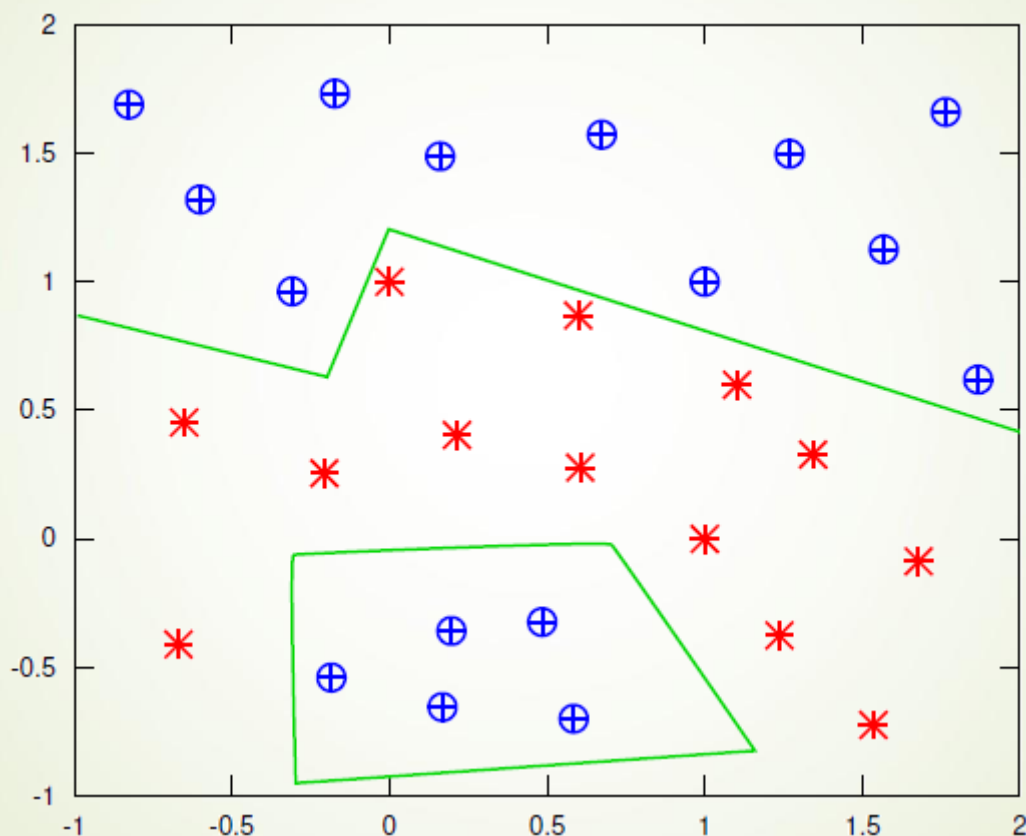
Warstwa neuronów jest w stanie aproksymować **funkcje linowe**

# Dlaczego sieci a nie perceptron ?



Dodatkowa warstwa neuronów **UKRYTYCH** jest w stanie aproksymować **funkcje ciągłe**

# Dlaczego sieci a nie perceptron ?

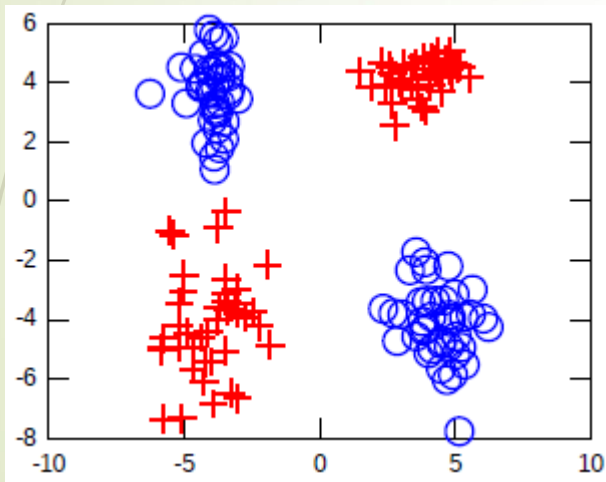


Kolejne warstwy neuronów ukrytych pozwalają na aproksymację **funkcje nieciągłych**

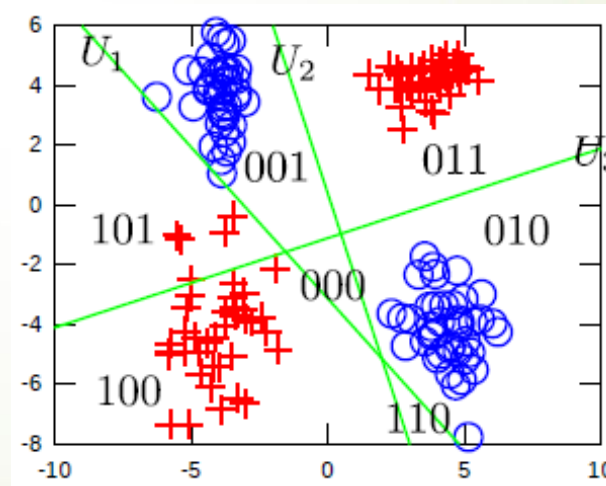
# Obszary decyzyjne klasyfikatorów wielowarstwowych

Budujemy SSN

DANE

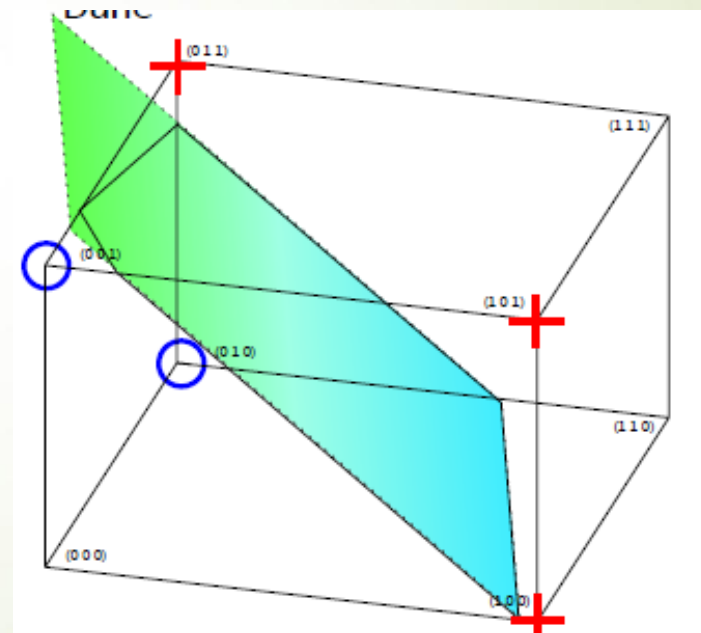
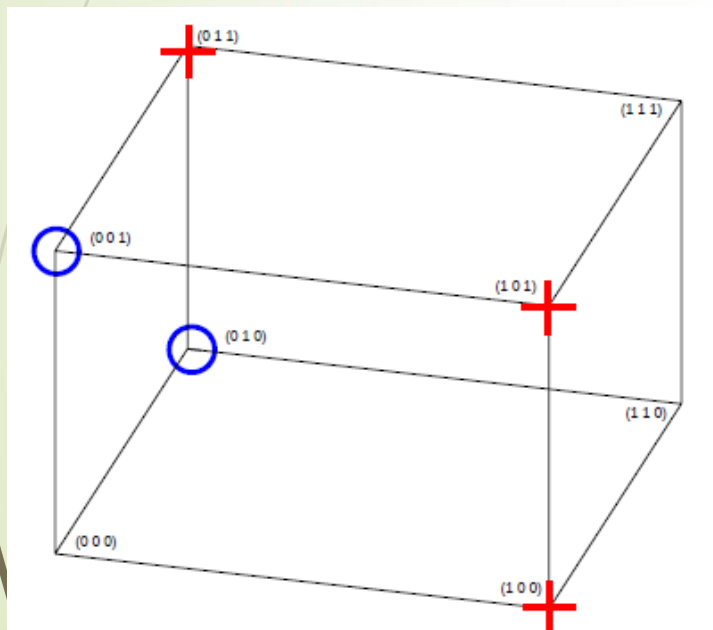
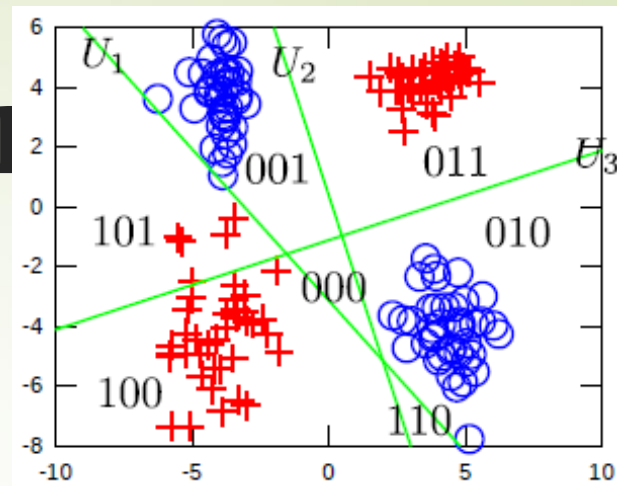
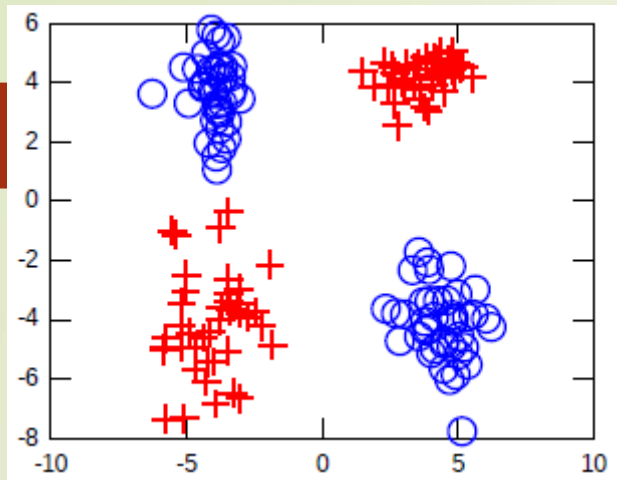


Warstwa neuronów



2 neurony wejściowe – 3 neurony w następnej warstwie

# decyzyjne kl rstwowych

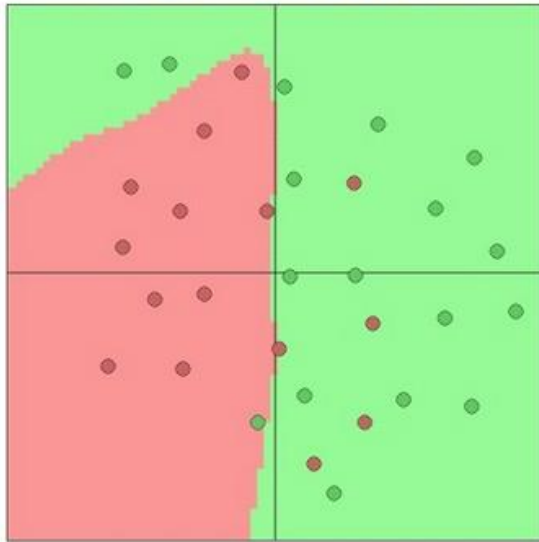


2 neurony wejściowe – 3 neurony w warstwie ukrytej – 1 wyjściowy

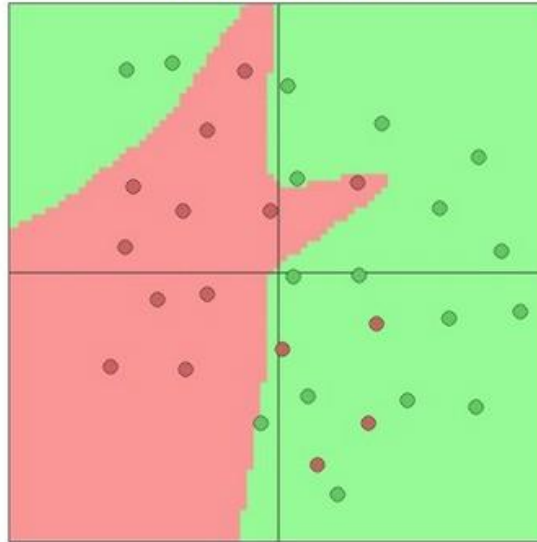


# To jaka powinna być struktura SSN dla danego zadania?

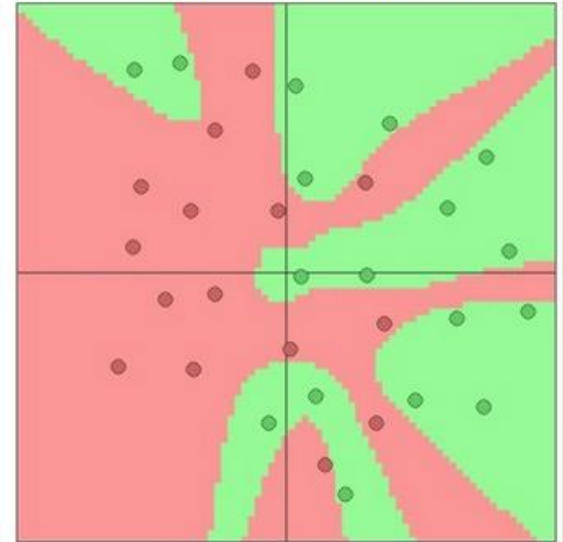
3 hidden neurons



6 hidden neurons



20 hidden neurons

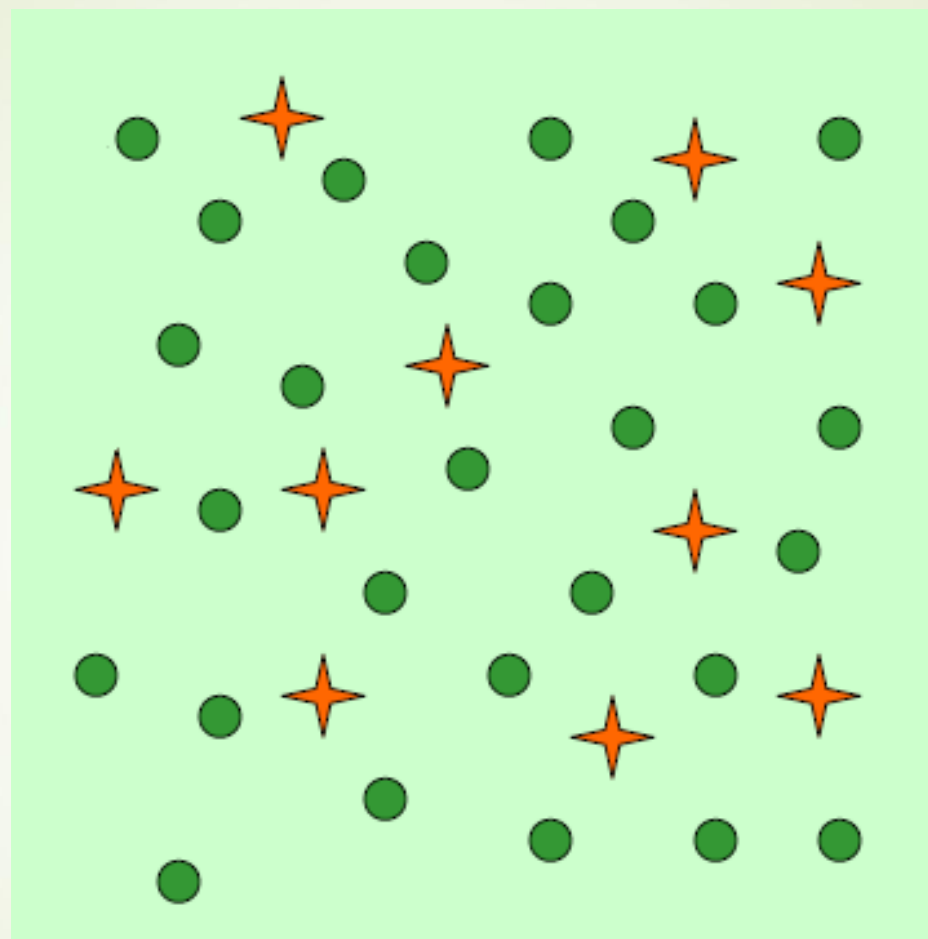


# Problem dobrej generalizacji sieci

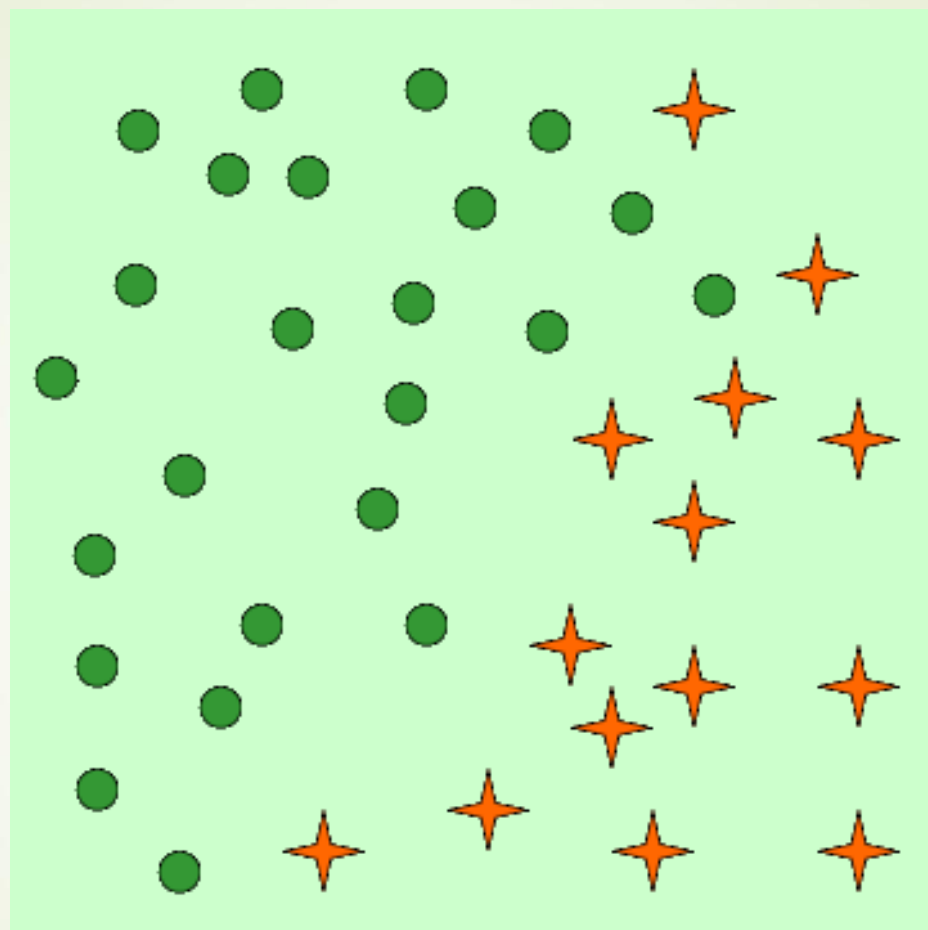
Teoretycznie, można zapewnić strukturę sieci, która pozwoli zminimalizować błąd sieci do wartości bliskich zera. Jednak, **celem uczenia** sieci jest **aproksymacja ogólnej „reguły”** wiążącej zależności **wejściowo-wyjściowe**, a nie optymalizacja struktury sieci dla, nie zawsze w pełni reprezentatywnej, próby **zbioru trenującego**.

**Poprawność działania sieci należy zawsze weryfikować dla tzw. zbioru testującego**, t.j. wzorców par  $\{x_i, d_i\}$ ,  $i=1, \dots, P$ , które **nie były wykorzystywane w trakcie nauki sieci**.

Zbiór testujący można utworzyć na **drodze losowego wyboru** np. 10% **wzorców** z ogólnej liczby dostępnych danych.

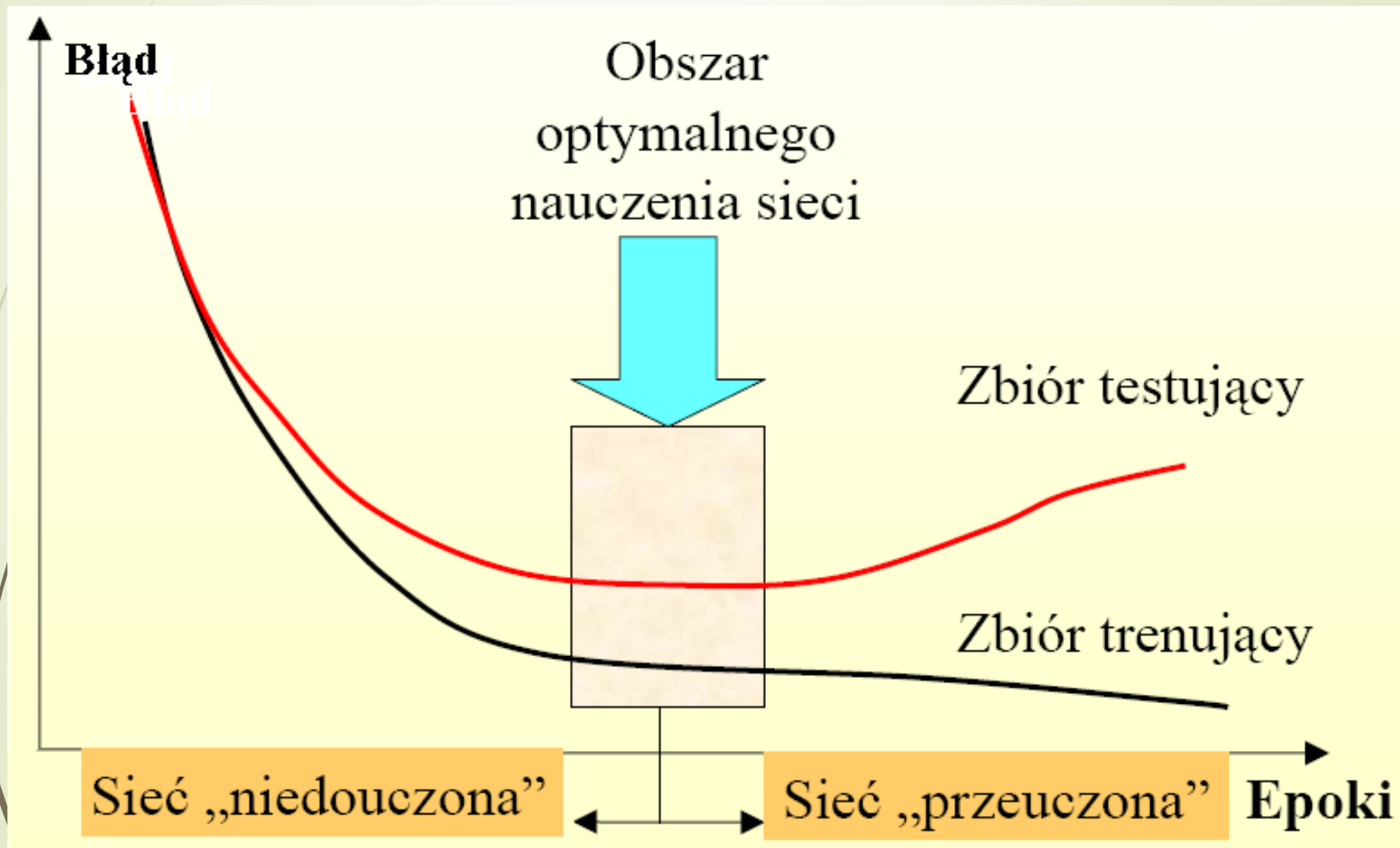


Prawidłowy podział na  
zbiór testujący i trenujący

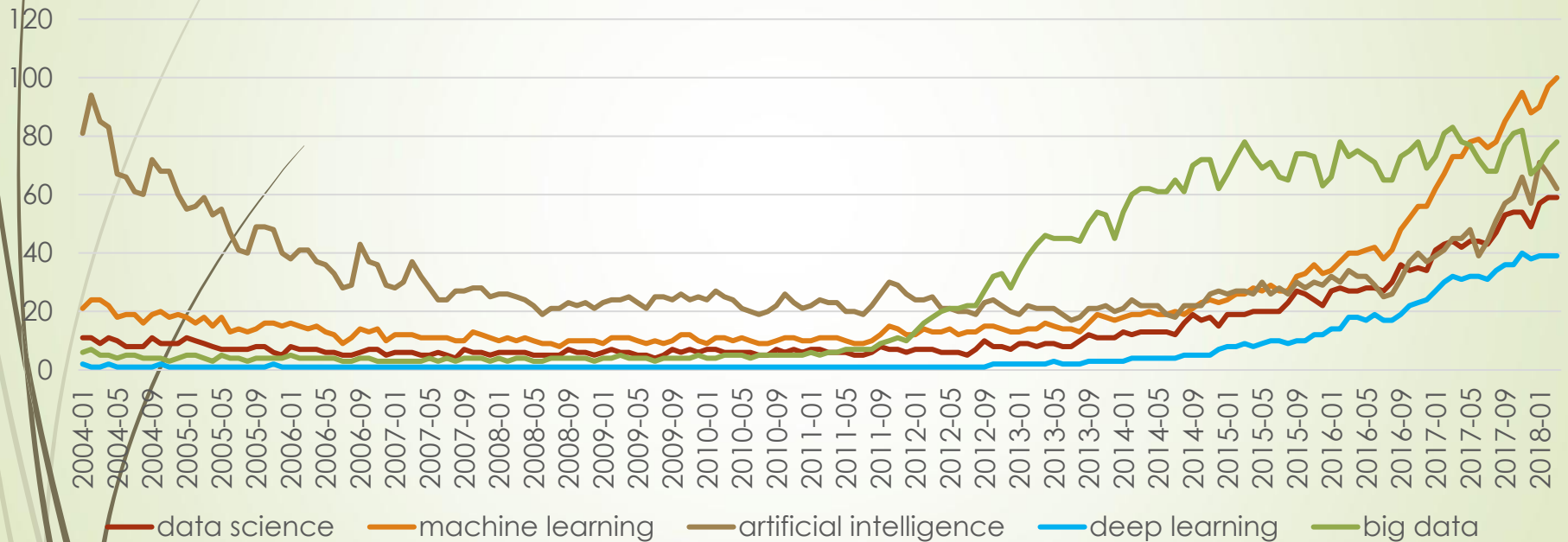


Nieprawidłowy podział na  
zbiór testujący i trenujący

# Problem dobrej generalizacji sieci



# Machine Learning Big Data Data Science



Incidence of selected terms in **Google Search**

# Zastosowania SSN w pierwszej fazie ich rozwoju



**Warren McCulloch & Walter Pitts**, wrote a paper on how neurons might work; they modeled a simple neural network with electrical circuits.

**Nathaniel Rochester** from the IBM research laboratories led the first effort to simulate a neural network.

**John von Neumann** suggested imitating simple neuron functions by using telegraph relays or vacuum tubes.

STORY BY DATA

1943

1949

1950s

1956

1957

## HISTORY OF NEURAL NETWORKS

1943-2019

1958

**Donald Hebb** reinforced the concept of neurons in his book, *The Organization of Behavior*. It pointed out that neural pathways are strengthened each time they are used.

The **Dartmouth Summer Research Project on Artificial Intelligence** provided a boost to both artificial intelligence and neural networks.

**Frank Rosenblatt** began work on the Perceptron; the oldest neural network still in use today.

1982

1981

1969

1959

1982

**John Hopfield** presented a paper to the national Academy of Sciences. His approach to create useful devices; he was likeable, articulate, and charismatic.

Progress on neural network research halted due fear, unfulfilled claims, etc.

**Marvin Minsky & Seymour Papert** proved the Perceptron to be limited in their book, *Perceptrons*.

**Bernard Widrow & Marcian Hoff** of Stanford developed models they called ADALINE and MADALINE; the first neural network to be applied to a real world problem.

1982

1985

1997

1998

NOW

**US-Japan Joint Conference on Cooperative/Competitive Neural Networks**; Japan announced their Fifth-Generation effort resulted in US worrying about being left behind and restarted the funding in US.

American Institute of Physics began what has become an annual meeting - **Neural Networks for Computing**.

A recurrent neural network framework, LSTM was proposed by **Schmidhuber & Hochreiter**.

**Yann LeCun** published *Gradient-Based Learning Applied to Document Recognition*.

Neural networks discussions are prevalent; the future is here!

# Google Trends

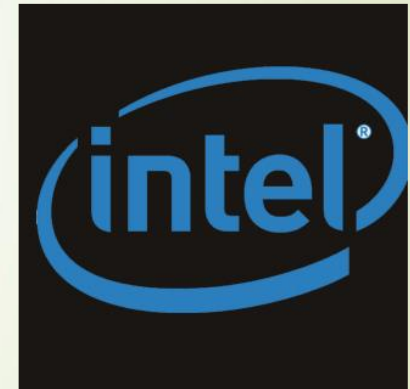







Dlaczego DL ???

Giganci IT rozwijają DL (ścigają się)



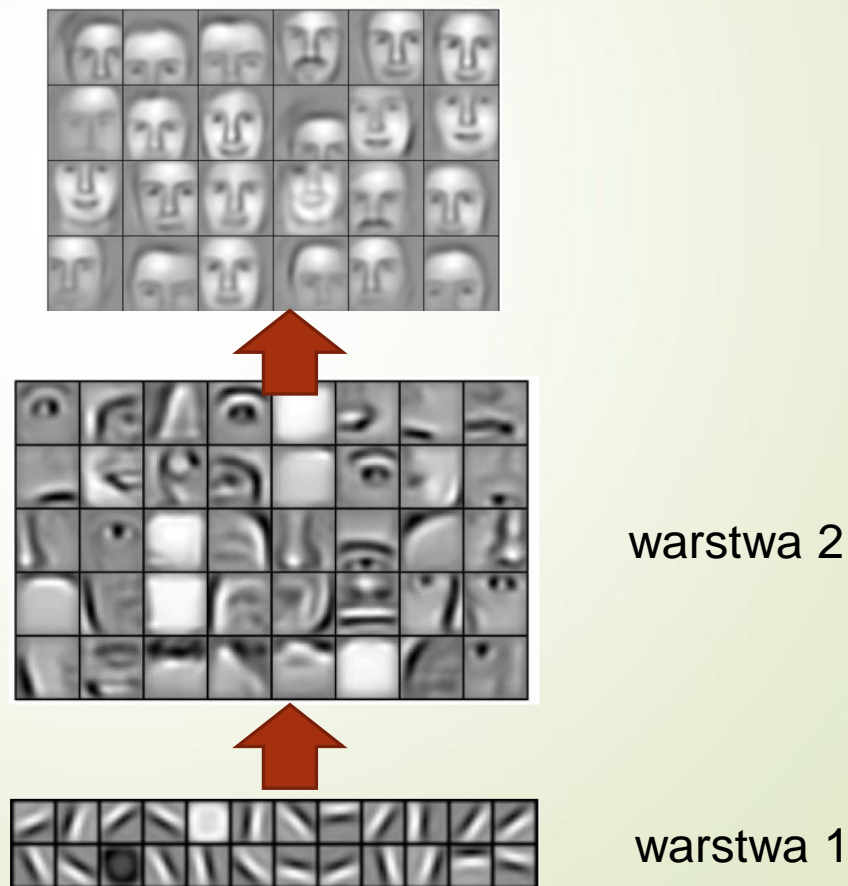


# Deep Learning podstawowe cechy

- rozwija strukturę hierarchiczną i reprezentację podstawowych i wtórnych cech
- wykorzystują **kaskadę wielu warstw neuronów** (lub innych jednostek obliczeniowych) różnych rodzajów w celu **stopniowej ekstrakcji cech** i ich **transformacji** w celu osiągnięcia hierarchii cech wtórnych/pochodnych,
- strategie **uczenia nadzorowanego** i **nienadzorowanego** dla różnych warstw
- Iteracyjnie rozwija strukturę i parametry sieci

# Reprezentacja podstawowych i wtórnych cech

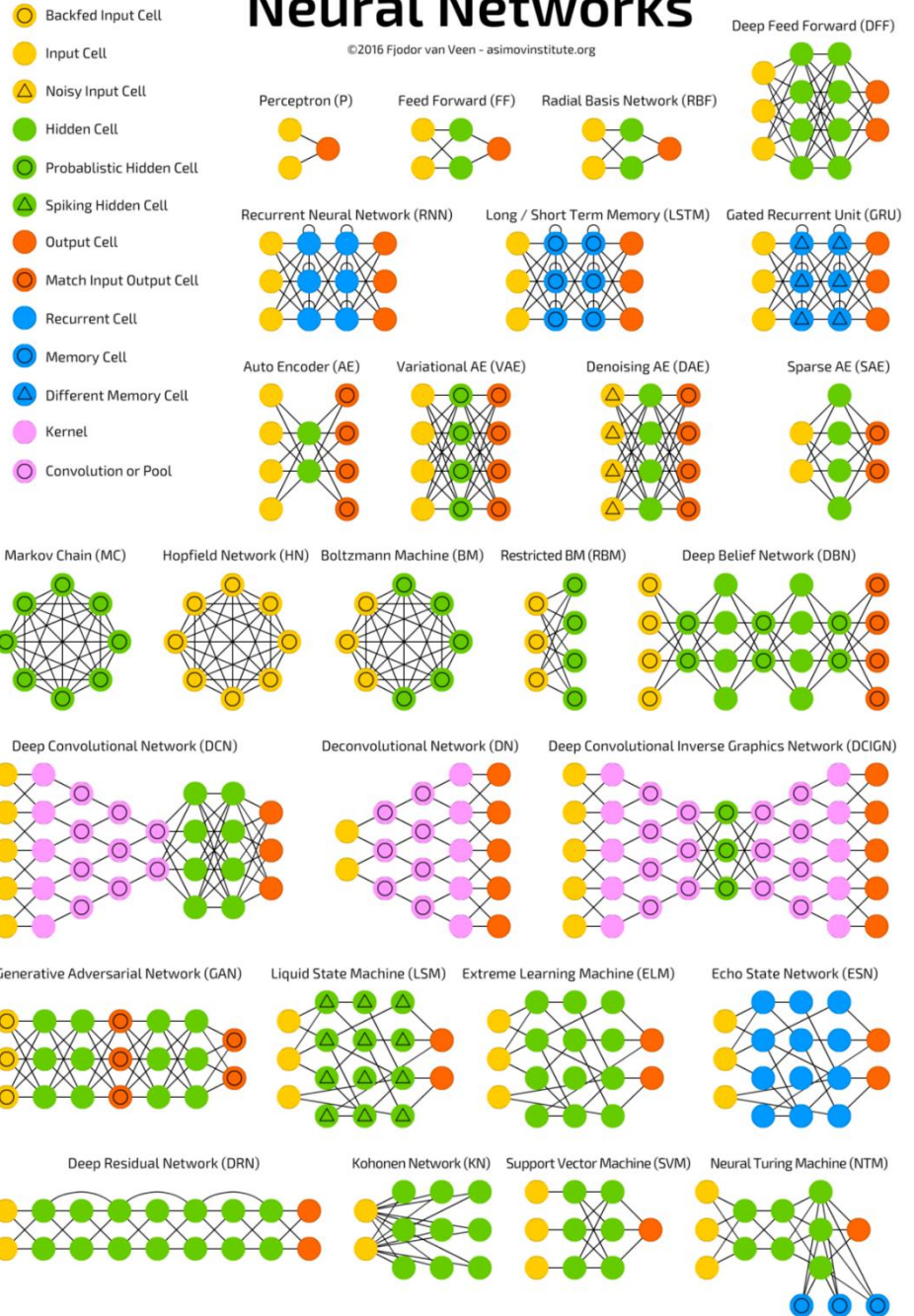
Kolejne warstwy modelu uczą się głębszych reprezentacji pośrednich




# Struktury SSN z uwzględnieniem DL

## A mostly complete chart of Neural Networks

©2016 Fjodor van Veen - asimovinstitute.org

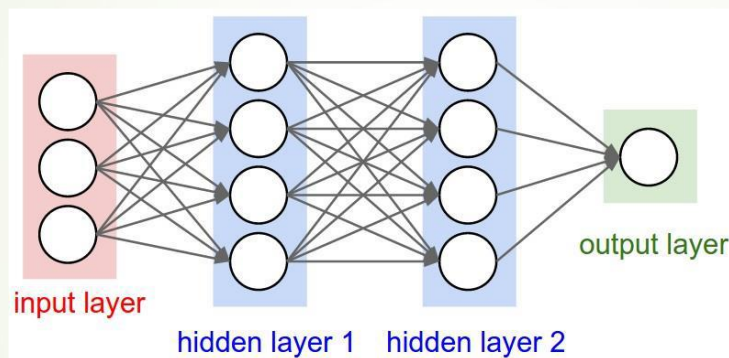




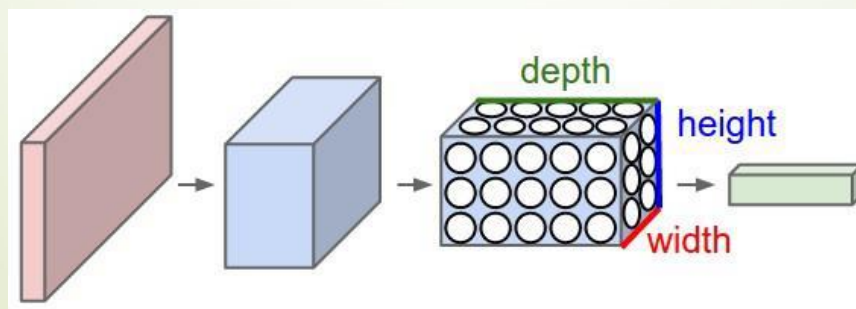
# Convolutional Neural Networks (CNN)

- ▶ CNN są inspirowane biologiczną **strukturą kory wzrokowej**, gdzie odpowiedzi neuronów są ograniczone do pola receptywnego.
- ▶ CNN są stosowane w **rozpoznawaniu obrazów, animacji komputerowej, przetwarzaniu języka**, ale również do **analizy sygnałów**.
- ▶ Aktywacja warstw CNN opiera się na **działaniu splotu**.
- ▶ Rzadka reprezentacja, współdzielone wagi,

# CNN - struktura



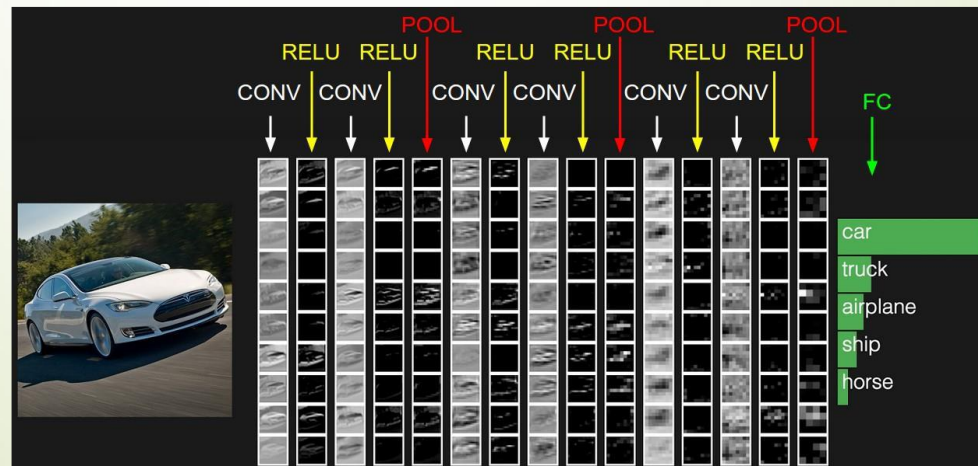
ANN



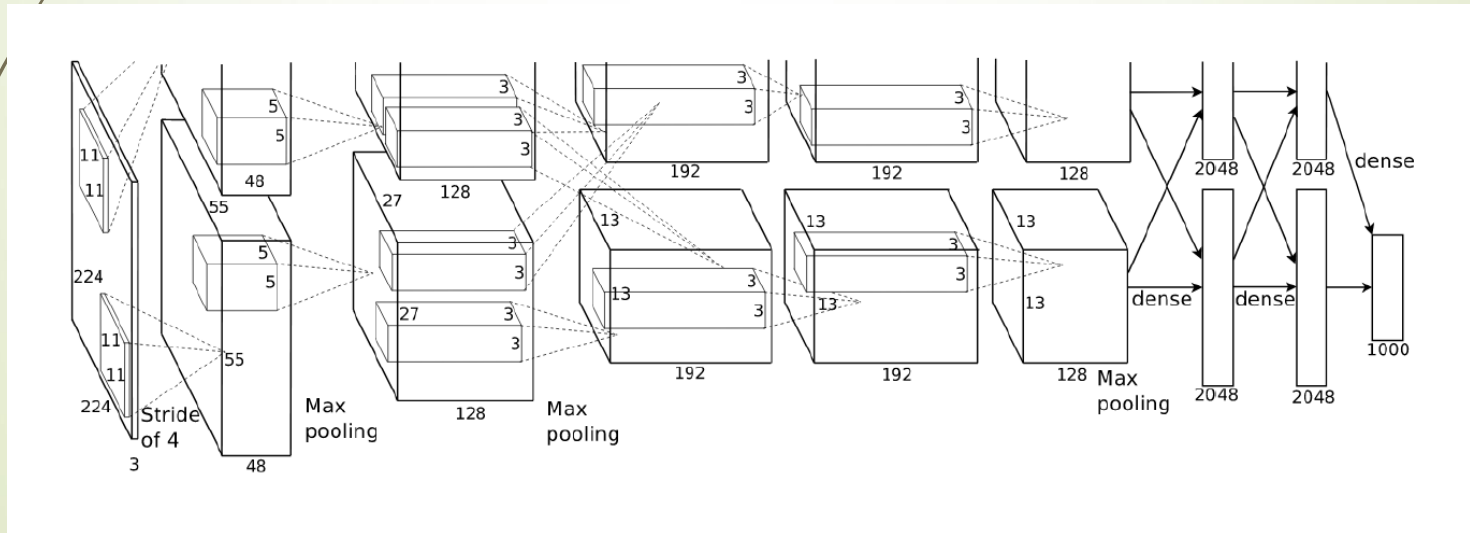
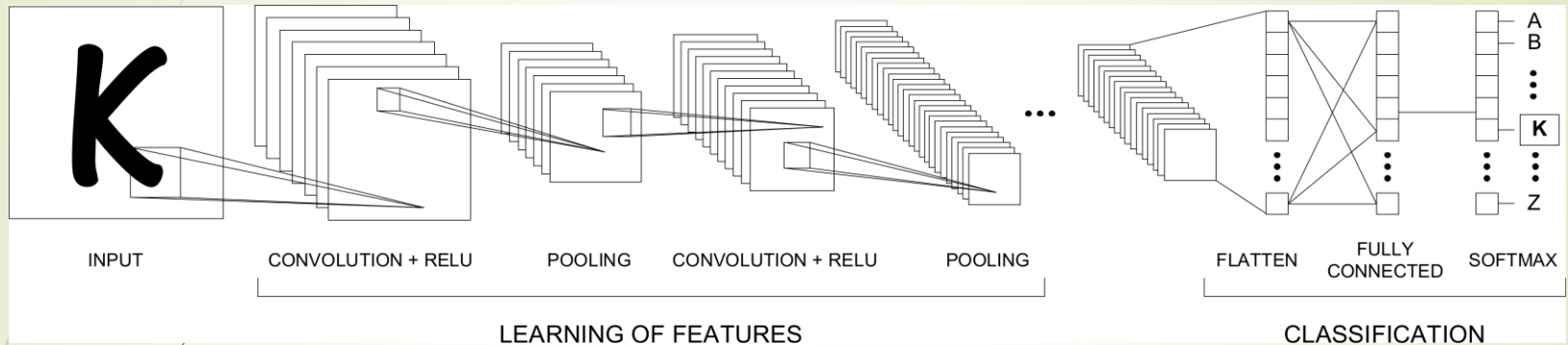
CNN

# CNN – struktura - warstwy

- **WEJSCIE** [32x32x3] przechowuje surowe wartości pikseli obrazu, w tym przypadku szerokość obrazu 32, wysokość 32 oraz 3 kanały RGB
- **CONV** – obliczająca splot obrazu z filtrem
- **RELU** – funkcja aktywacji
- **POLL** – przekształcenie dla zmniejszenia ilości informacji
- **FC** – klasyczna sieć



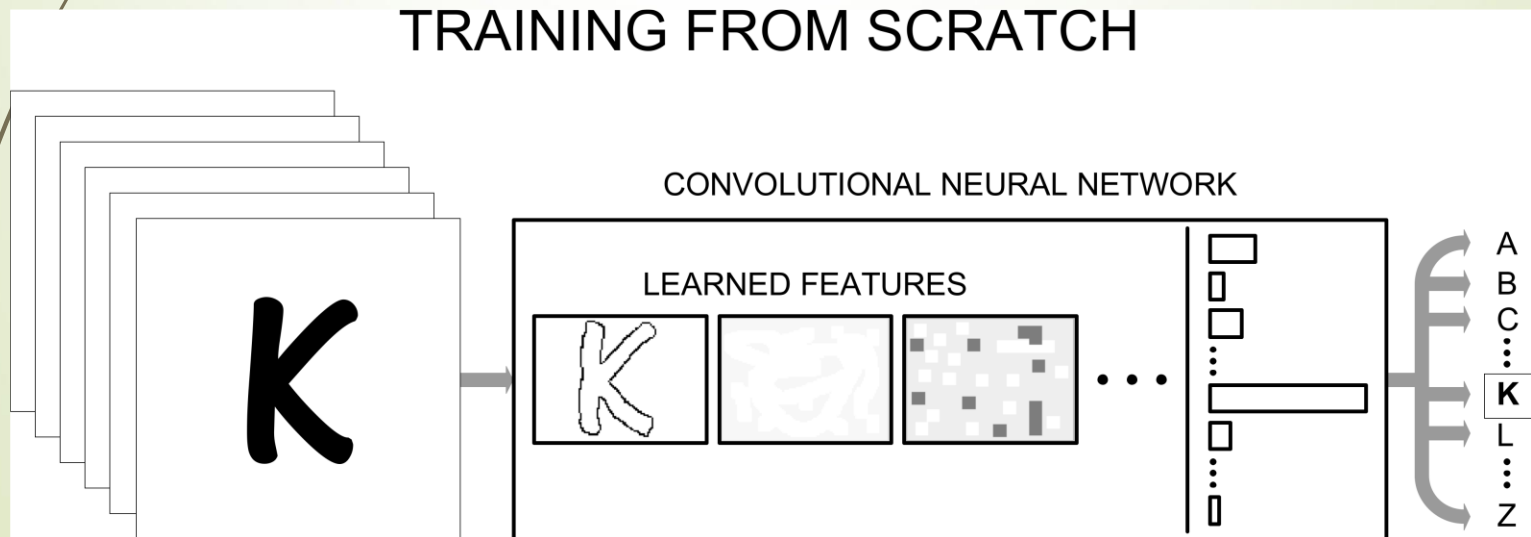
# CNN - różne struktury





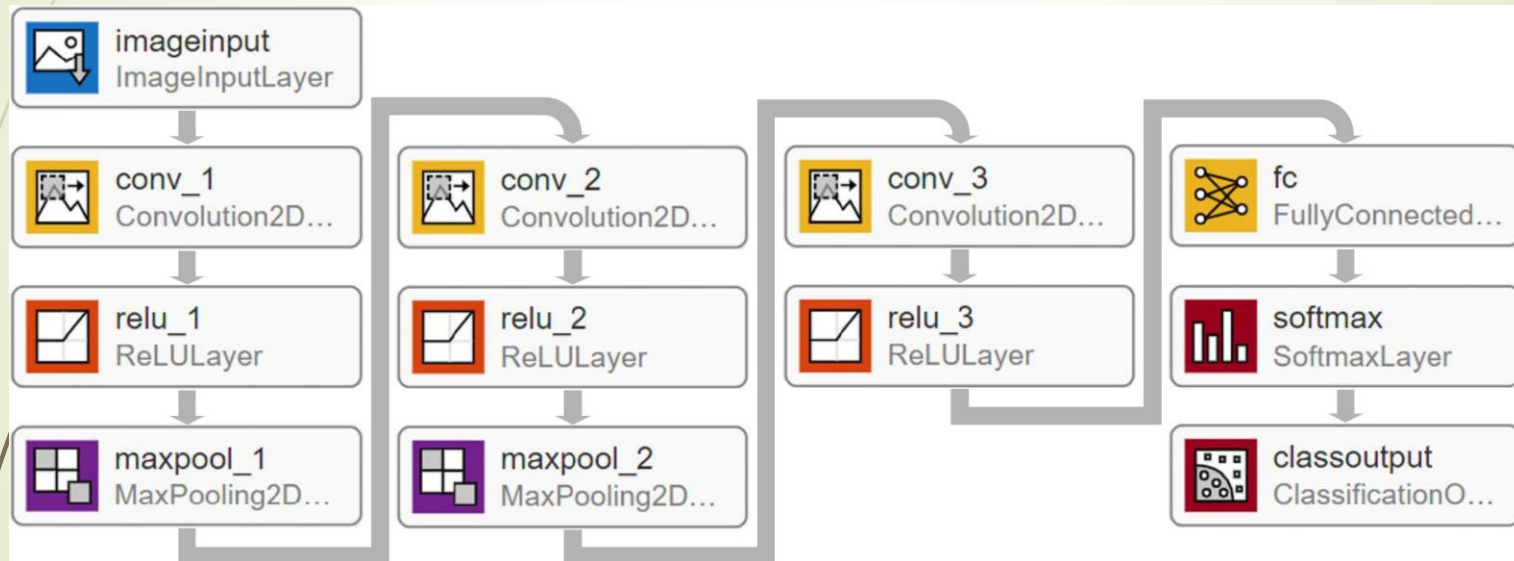
# Pierwsze podejście - zaprojektowane CNN

- Możliwe jest stworzenie spersonalizowanej CNN.
- Wymaga to pewnej wiedzy na temat przetwarzania obrazu (filtry, padding), sieci neuronowych (parametry treningowe, funkcje aktywacji, kodowanie wyjściowe) i oszacowania złożoności (głębokość).



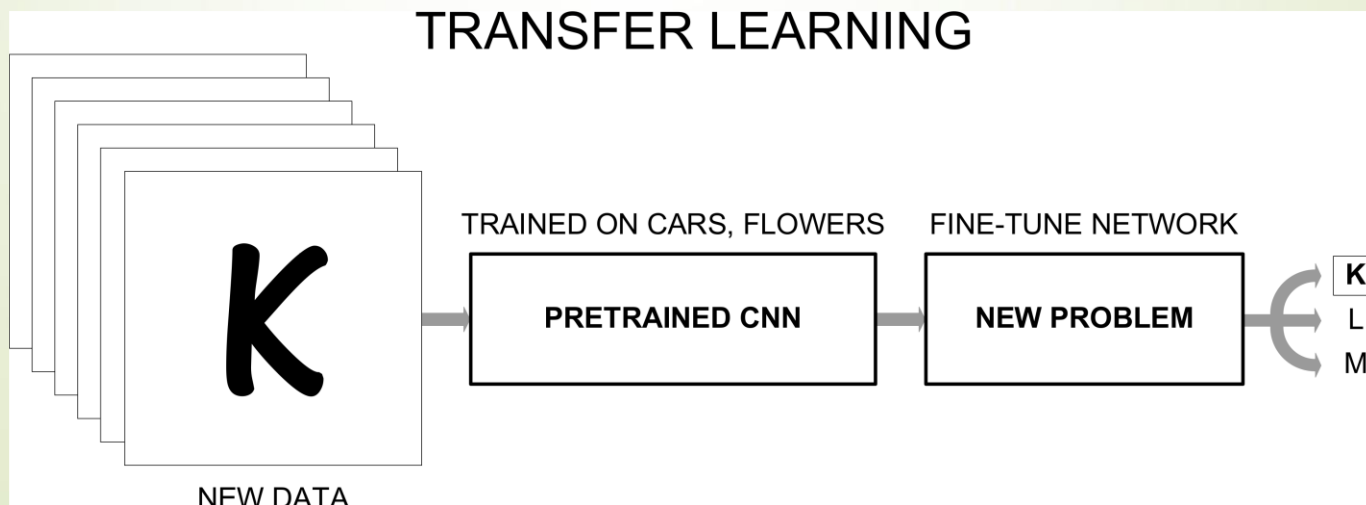
# Pierwsze podejście - zaprojektowane CNN

- Uproszczona CNN używana do klasyfikacji obrazów:



# Drugie podejście - wstępnie wyszkolona CNN (P – CNN)

- Możliwe jest wykorzystanie rozwiniętej i wyszkolonej CNN.
- Wymaga to precyzyjnego dostrojenia sieci: dostosowania głębszych warstw w P – CNN poprzez szkolenie nowego zestawu danych.



# Drugie podejście - wstępnie wyszkolona CNN (P – CNN)

- P – CNN nauczyły się **wyodrębnić funkcje informacyjne z naturalnych obrazów** - można to wykorzystać jako punkt wyjścia do nauki nowego zadania czyli rozwiniętej i wyszkolonej CNN.
- P – CNN są szkolone na ponad **milionie obrazów** i mogą klasyfikować obrazy na 1000 kategorii obiektów (np .: klawiatura, kubek kawy, ołówek i wiele zwierząt).
- Obrazy szkoleniowe są podzbiorem **ImageNet database**, używanej w **ImageNet Large-Scale Visual Recognition Challenge** (ILSVRC).
- Użycie P – CNN jest zazwyczaj **dużo szybsze i łatwiejsze** niż szkolenie sieci od podstaw.

# Drugie podejście - wstępnie wyszkolona CNN (P - CNN)

Network	Depth <sup>1</sup>	Size (MB)	Operations per prediction (billions)	Parameters (millions)	Input size (image)
Alexnet	8	245	0.72	61	227×227
vgg16	16	554	15.5	138	224×224
vgg19	19	575	19.6	144	224×224
Squeezenet	18	6.4	0.39	1.23	227×227
Googlenet	22	29	1.58	7	224×224
inceptionv3	48	96	5.7	23.9	299×299
resnet18	18	47	1.81	11.7	224×224
resnet50	50	104	3.8	25.6	224×224
resnet101	101	180	7.6	45	224×224
inceptionresnetv2	164	225	13.2	56	299×299

Głębokość jest definiowana jako największa liczba kolejnych warstw spłotowych oraz w pełni połączonych na ścieżce od warstwy wejściowej do warstwy wyjściowej.

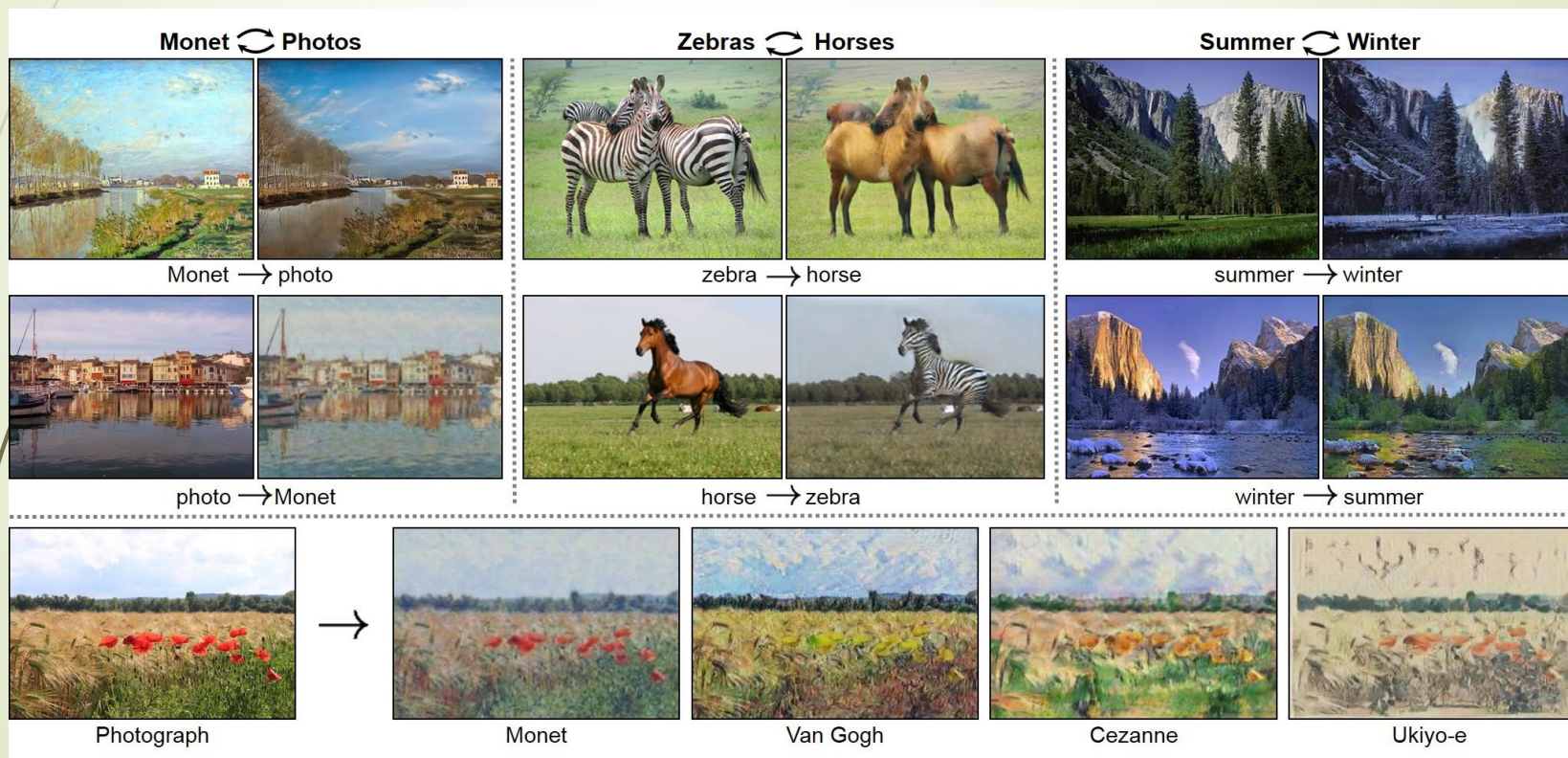
# Przykłady

Unpaired Image-to-Image Translation using **Cycle-Consistent Adversarial Networks**

Jun-Yan Zhu Taesung Park Phillip Isola Alexei A. Efros

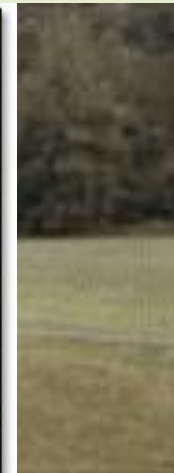
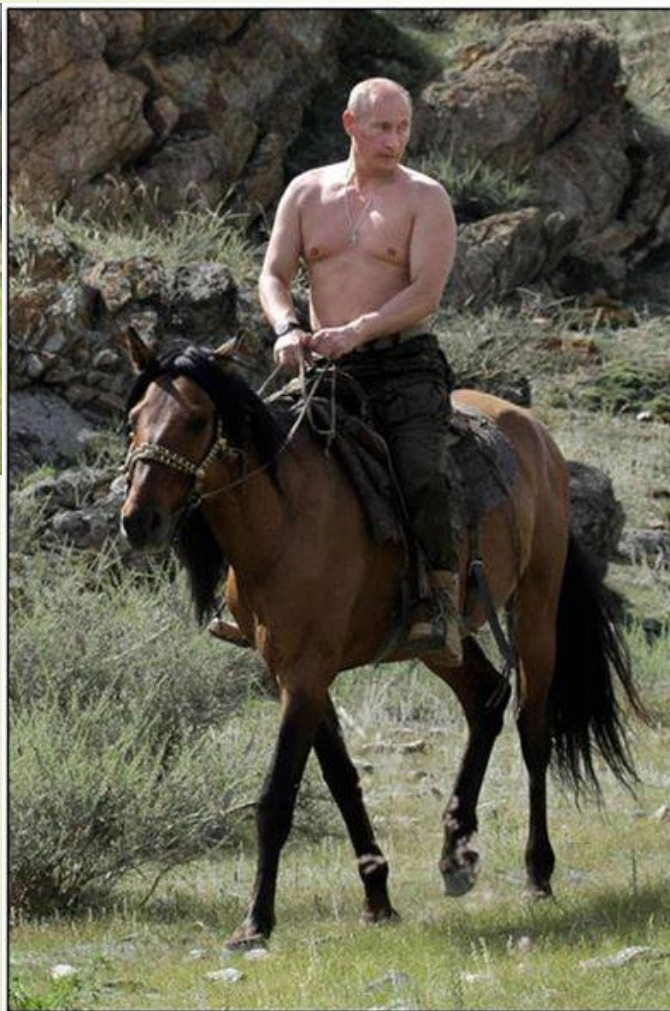
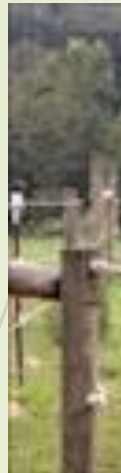
UC Berkeley

In ICCV 2017



# Przykłady

GAN



# Przykłady

DeepFake





# Przykłady

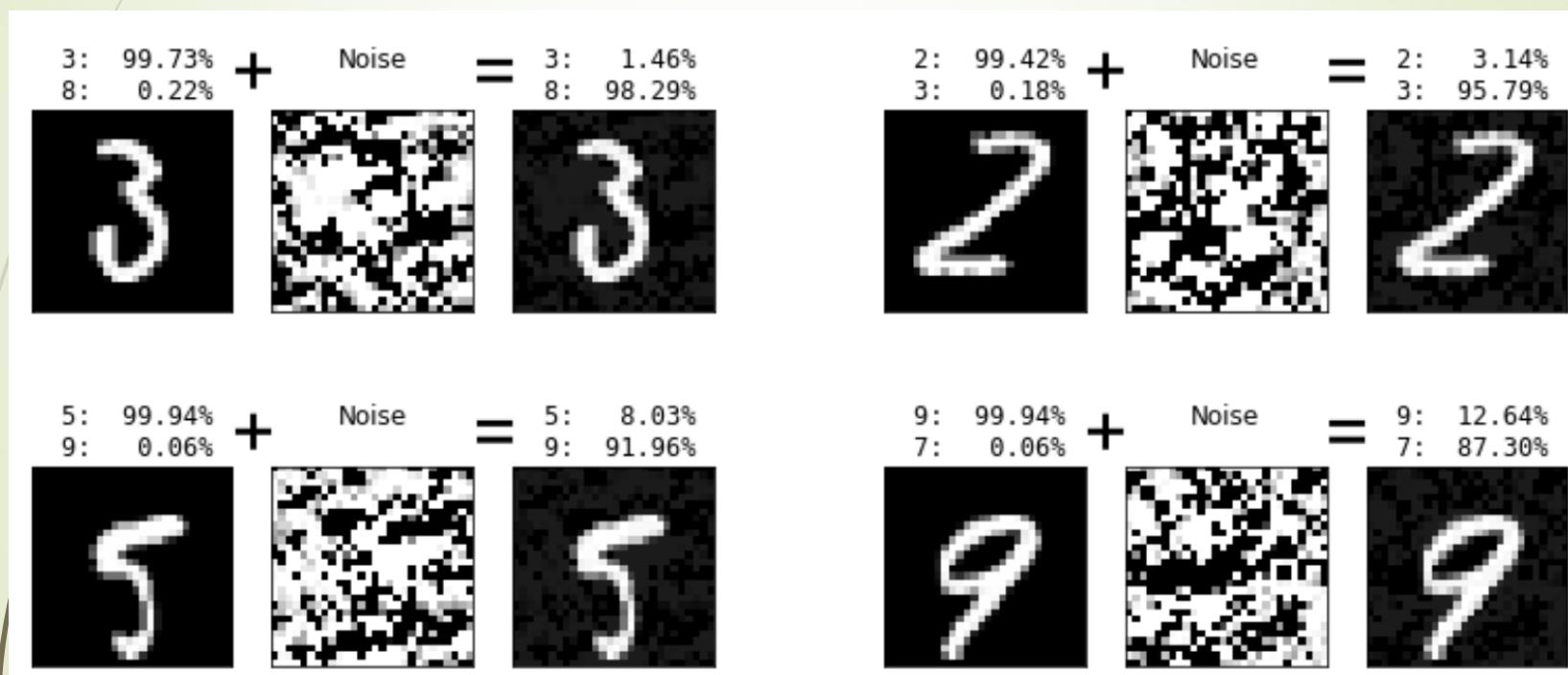
DeepFake



# Przykłady

## Adversarial Attacks and Defences for Convolutional Neural Networks

### Ataki przeciwstawne



Images on the **left** of each set are **original images**, **middle** images are amplified depictions of the **noise**, and images on the **right** are crafted adversarial images (**original+noise**). Classification probabilities are shown for each image, on a simple conv net which gets greater than **99.25% accuracy on MNIST**. **The maximum noise limit here is 0.05**.

# Przykłady

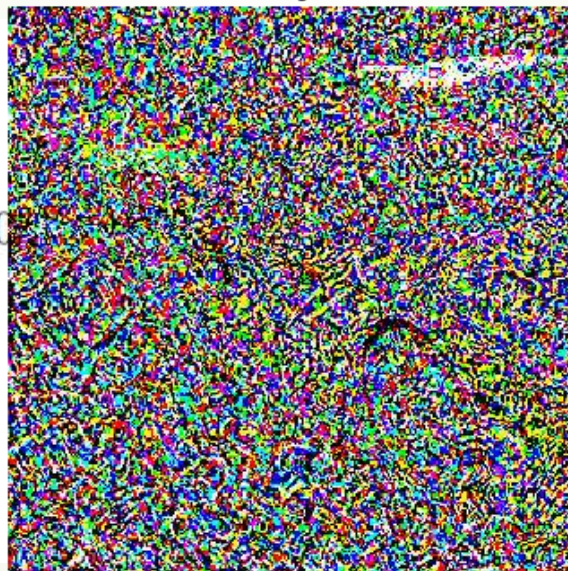
Adversarial Attacks and Defences for Convolutional Neural Networks

Ataki przeciwstawne (czy panda + nicienie = gibbon ???)

Original image: sports car



Attacking noise



Adversarial example: toaster

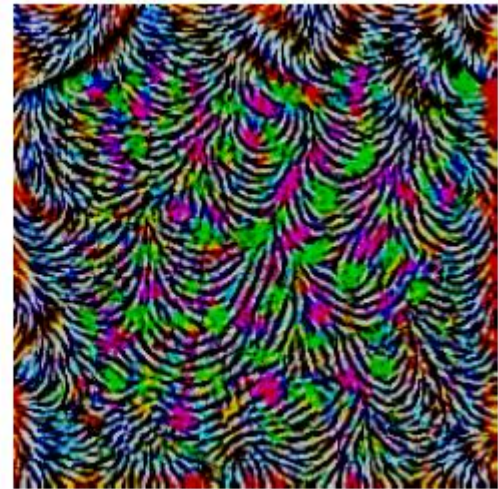




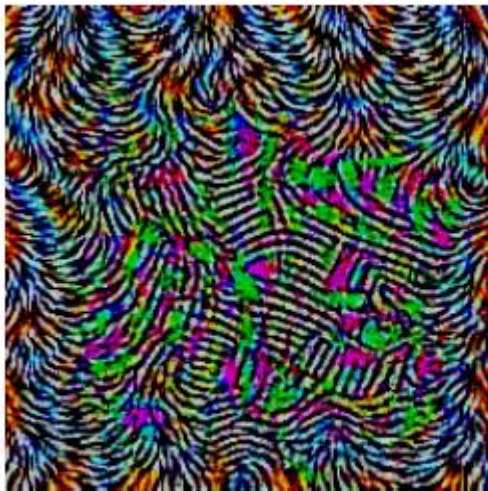
(a) CaffeNet



(b) VGG-F



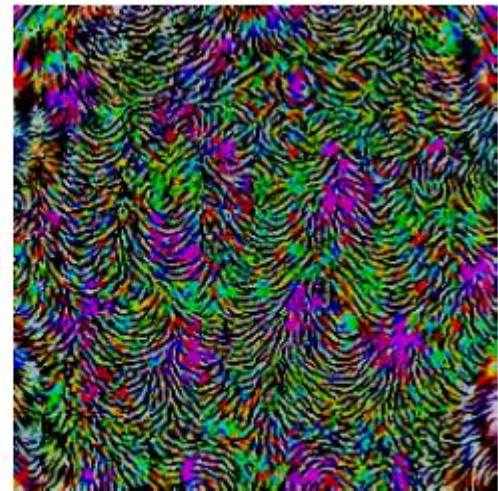
(c) VGG-16



(d) VGG-19



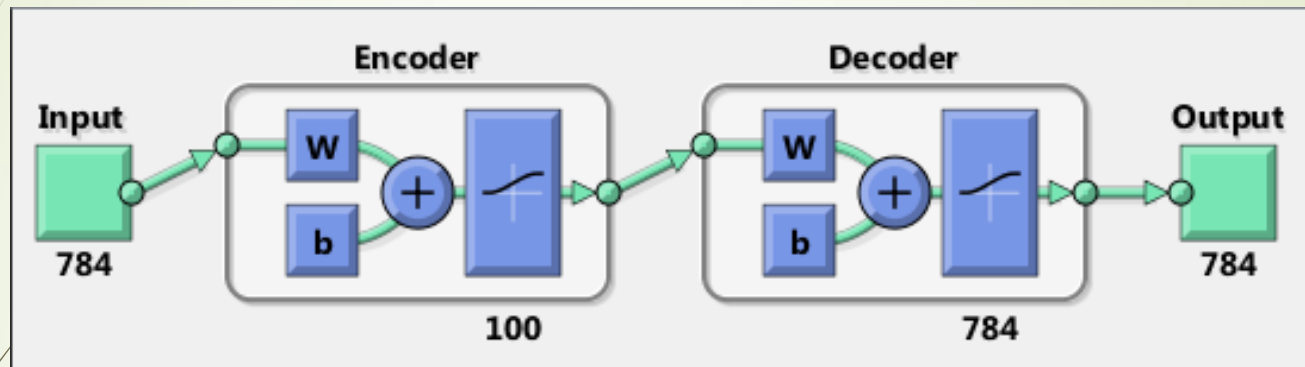
(e) GoogLeNet



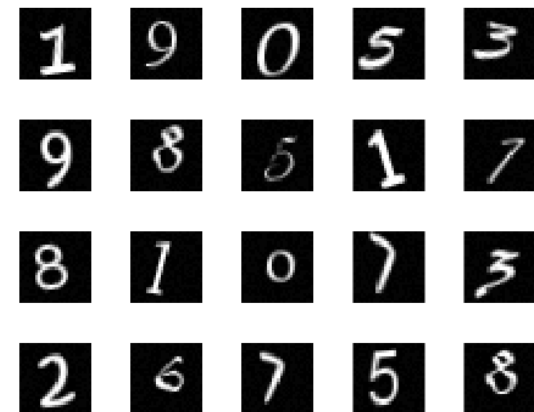
(f) ResNet-152

Universal perturbations computed for different deep neural network architectures.

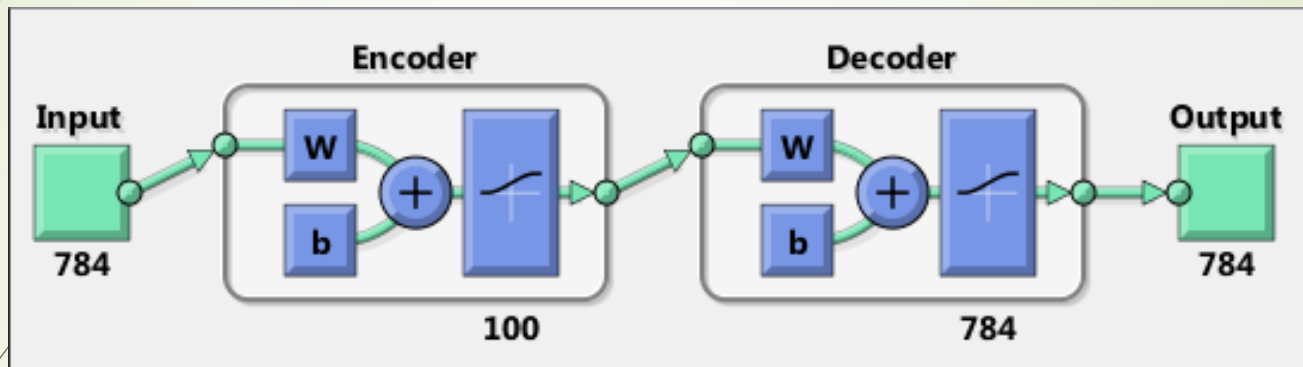
# Autoenkoder - etap 1



```
% Load the training data into memory  
[xTrainImages, tTrain] = digittrain_dataset;  
% Display some of the training images  
clf  
for i = 1:20  
    subplot(4,5,i);  
    imshow(xTrainImages{i});  
end
```

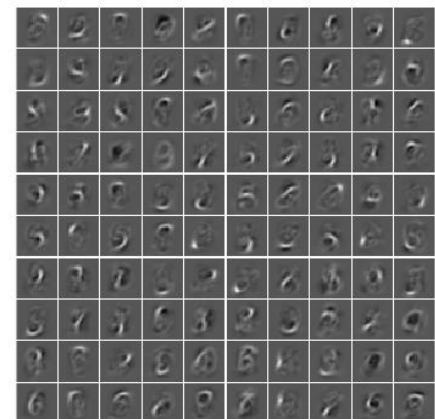


# Autoenkoder - etap 1

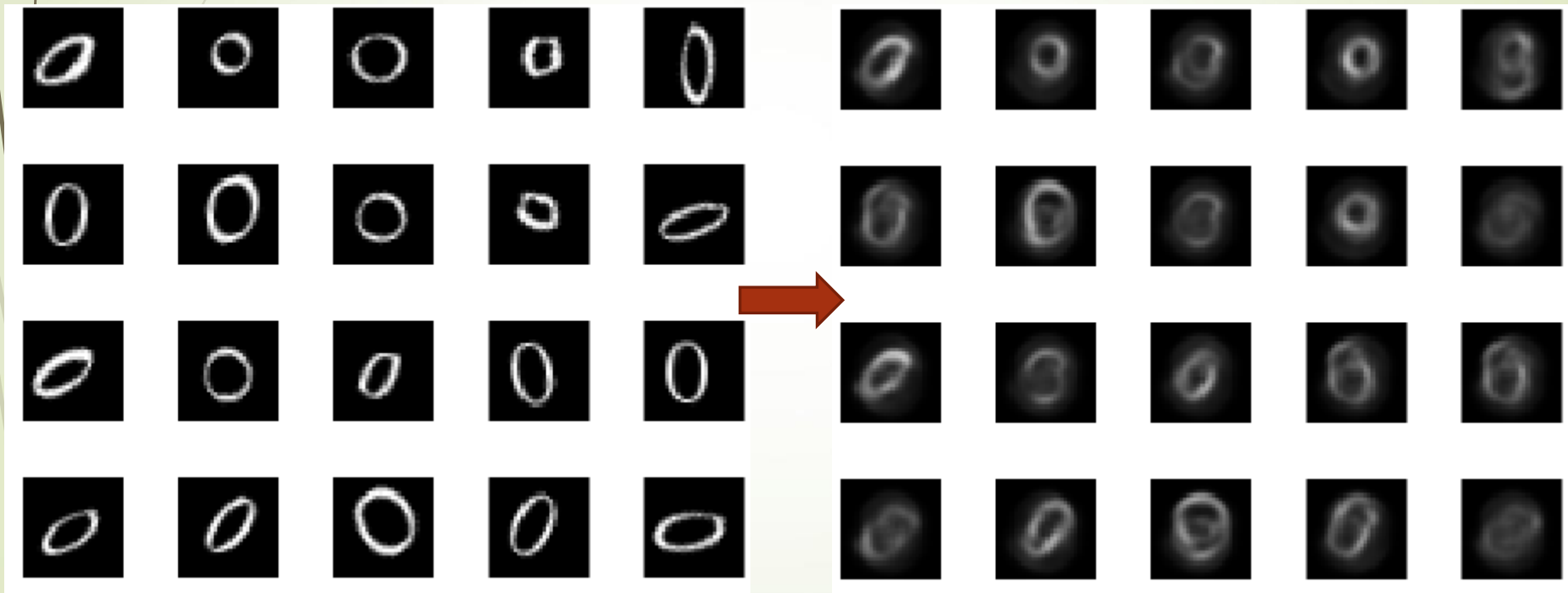


```
rng('default') % set the random number generator seed
hiddenSize1 = 100; % set the number of hidden nodes in Layer 1
autoenc1 = trainAutoencoder(xTrainImages,hiddenSize1, ...
    'MaxEpochs',400, ...
    'L2WeightRegularization',0.004, ...
    'SparsityRegularization',4, ...
    'SparsityProportion',0.15, ...
    'ScaleData', false);
plotWeights(autoenc1);
```

wagi

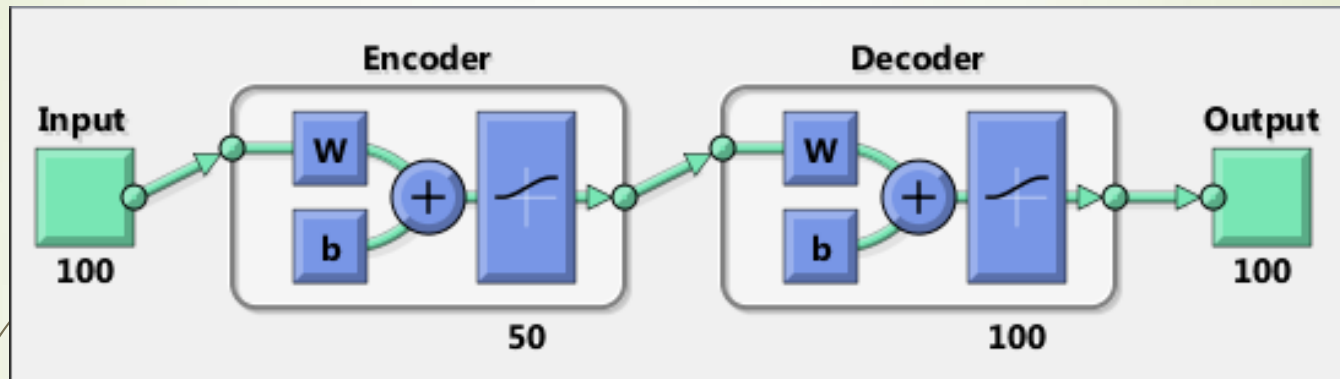


# Zadanie autoencodera



```
xReconstructed = predict(autoenc1, XTest_change);
```

# Autoenkoder – etap 2 rozbudowa

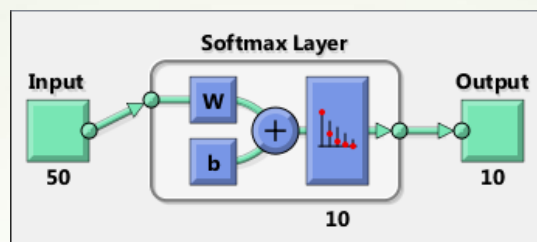


```
feat1 = encode(autoenc1,xTrainImages);  
hiddenSize2 = 50; % set the number of hidden nodes in Layer 2
```

```
autoenc2 = trainAutoencoder(feat1,hiddenSize2, ...  
    'MaxEpochs',100, ...  
    'L2WeightRegularization',0.002, ...  
    'SparsityRegularization',4, ...  
    'SparsityProportion',0.1, ...  
    'ScaleData', false);
```



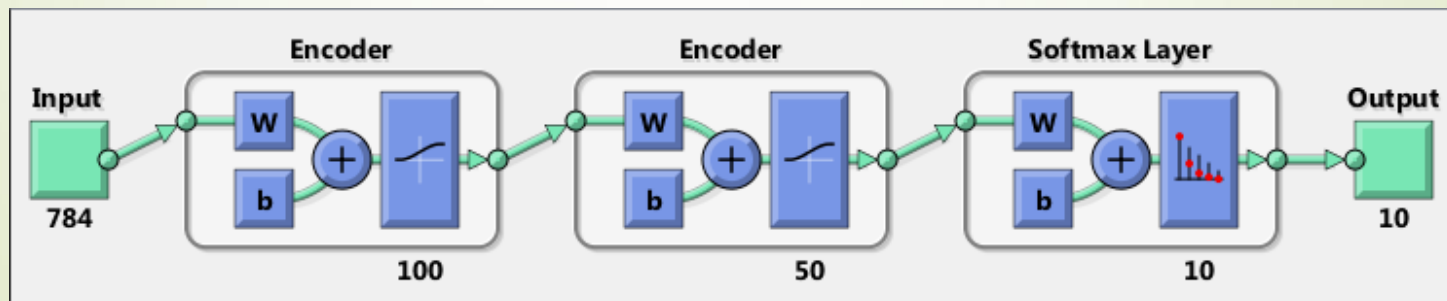
# Autoenkoder - rozbudowa



```
feat2 = encode(autoenc2,feat1);
```

```
softnet = trainSoftmaxLayer(feat2,tTrain,'MaxEpochs',400);
```

```
deepnet = stack(autoenc1,autoenc2,softnet); % stack all layers  
view(deepnet)
```



# Klasyfikacja kodera, przy uczeniu cząstkowym

% Load the test images

```
[xTestImages, tTest] = digittest_dataset;
```

```
y = deepnet(xTest);
```

```
plotconfusion(tTest,y);
```

Confusion Matrix

	1	2	3	4	5	6	7	8	9	10	
1	418 8.4%	1 0.0%	3 0.1%	1 0.0%	4 0.1%	16 0.3%	15 0.3%	7 0.1%	8 0.2%	4 0.1%	37.6%
2	11 0.2%	407 8.1%	19 0.4%	6 0.1%	0 0.0%	3 0.1%	7 0.1%	12 0.2%	10 0.2%	11 0.2%	33.7%
3	12 0.2%	14 0.3%	406 8.1%	0 0.0%	40 0.8%	0 0.0%	11 0.2%	35 0.7%	1 0.0%	4 0.1%	77.6%
4	13 0.3%	7 0.1%	1 0.0%	449 9.0%	0 0.0%	6 0.1%	0 0.0%	15 0.3%	12 0.2%	0 0.0%	39.3%
5	1 0.0%	2 0.0%	41 0.8%	0 0.0%	404 8.1%	31 0.6%	0 0.0%	45 0.9%	3 0.1%	7 0.1%	75.7%
6	20 0.4%	1 0.0%	5 0.1%	11 0.2%	11 0.2%	378 7.6%	0 0.0%	31 0.6%	12 0.2%	32 0.6%	75.4%
7	25 0.5%	22 0.4%	7 0.1%	8 0.2%	0 0.0%	0 0.0%	438 8.8%	22 0.4%	4 0.1%	0 0.0%	33.3%
8	0 0.0%	6 0.1%	11 0.2%	10 0.2%	33 0.7%	28 0.6%	10 0.2%	277 5.5%	12 0.2%	28 0.6%	66.7%
9	0 0.0%	18 0.4%	0 0.0%	14 0.3%	1 0.0%	4 0.1%	17 0.3%	21 0.4%	430 8.6%	11 0.2%	33.3%
10	0 0.0%	22 0.4%	7 0.1%	1 0.0%	7 0.1%	34 0.7%	2 0.0%	35 0.7%	8 0.2%	403 8.1%	77.6%
	83.6%	31.4%	31.2%	39.8%	30.8%	75.6%	37.6%	55.4%	36.0%	30.6%	30.2%
	16.4%	18.6%	18.8%	10.2%	19.2%	24.4%	12.4%	44.6%	14.0%	19.4%	19.8%
Target Class	1	2	3	4	5	6	7	8	9	10	

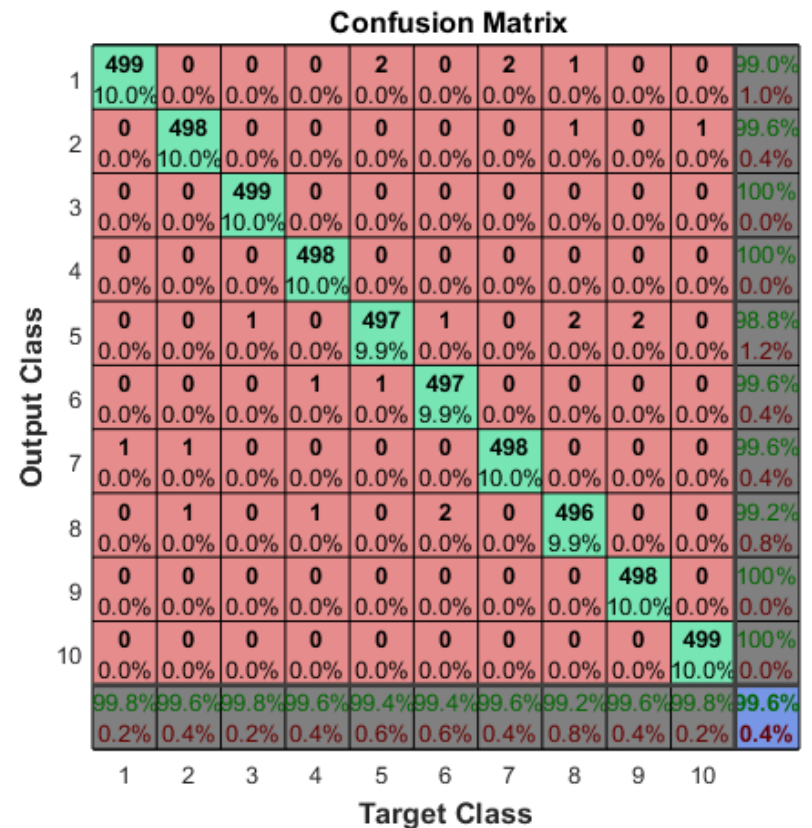
# Klasyfikacja kodera, przy uczeniu całościowym

% Perform fine tuning

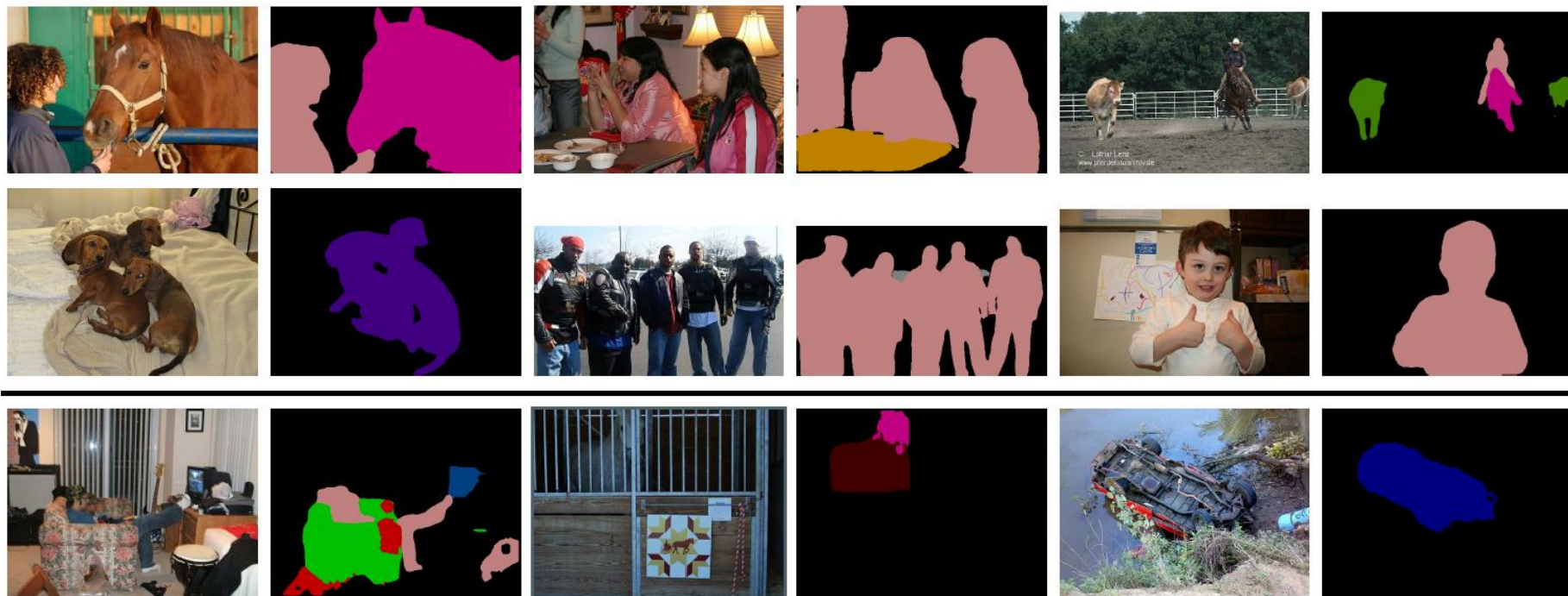
```
deepnet = train(deepnet,xTrain,tTrain);
```

```
y = deepnet(xTest);
```

```
plotconfusion(tTest,y);
```



# Zastosowanie Encoder-Decoder wraz z CNN do semantycznej segmentacji obrazu



DeepLabv3 + ResNet-101 as Network Backbone

The last row shows a **failure** mode.



- Bicyclist
- Pedestrian
- Car
- Fence
- SignSymbol
- Tree
- Pavement
- Road
- Pole
- Building
- Sky

# Pamięć asocjacyjna

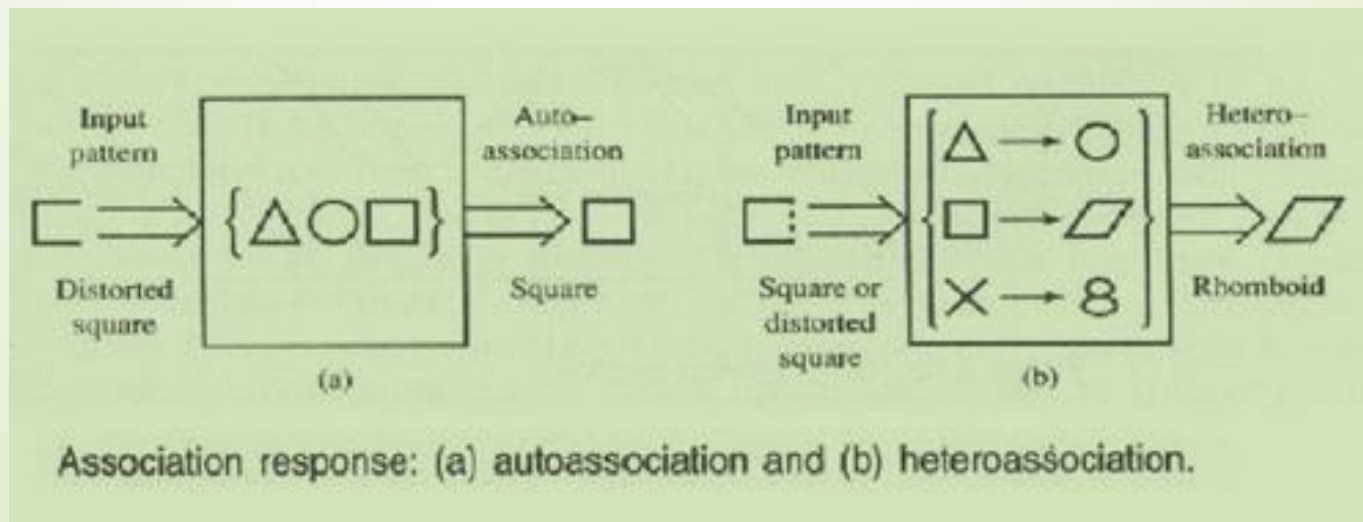
Dwa typy pamięci asocjacyjnej

- ▶ **Pamięć autoasocjacyjna**

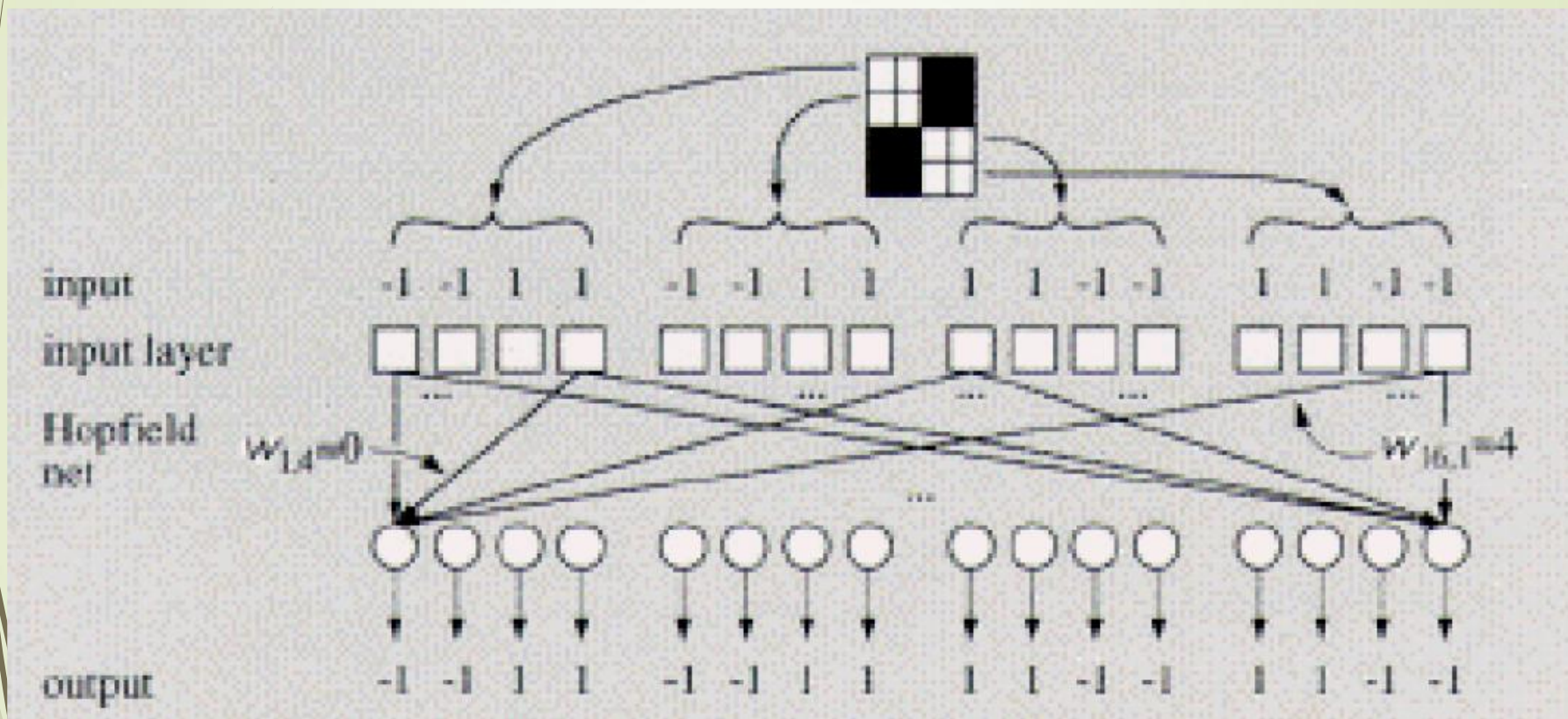
$$\text{Wzorzec } X_i : X_i + \Delta \rightarrow X_i$$

- ▶ **Pamięć heteroasocjacyjna**

$$\text{Wzorzec } X_i \rightarrow Y_i : X_i + \Delta \rightarrow Y_i$$

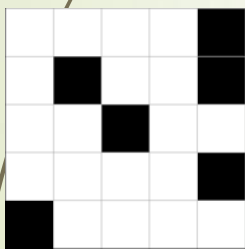
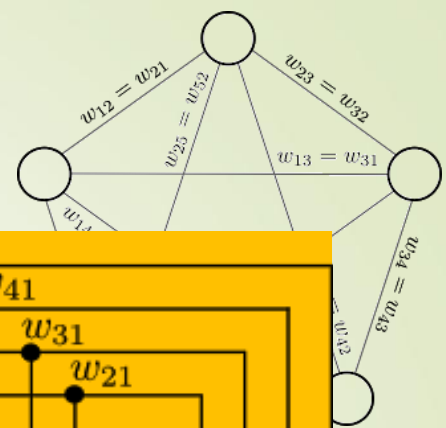
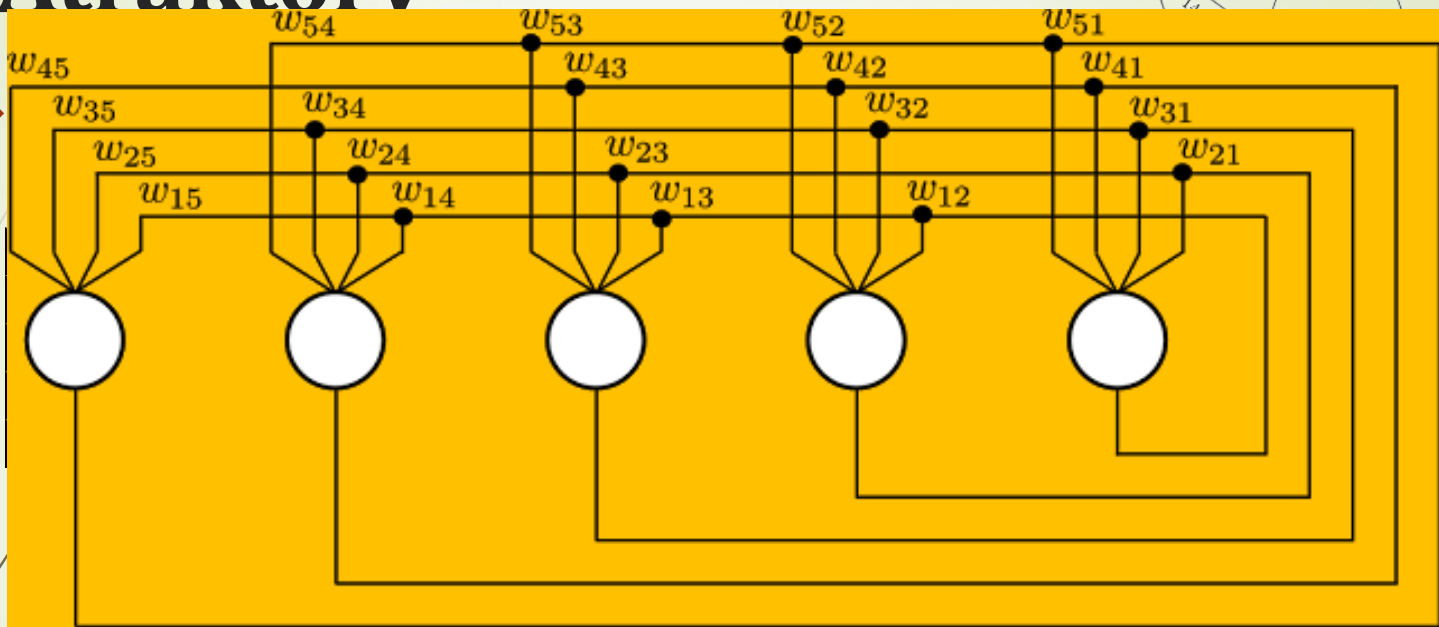


# Sieci Hopfieldda - uczenie

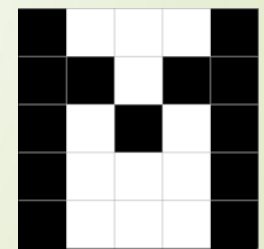
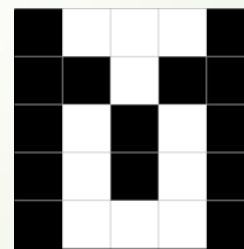
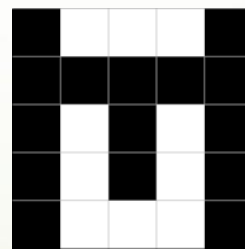
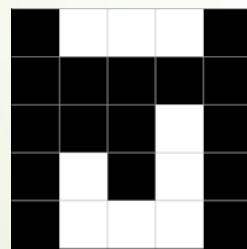


**WEJŚCIE = WYJŚCIU !!!**

# Atraktory



wejście

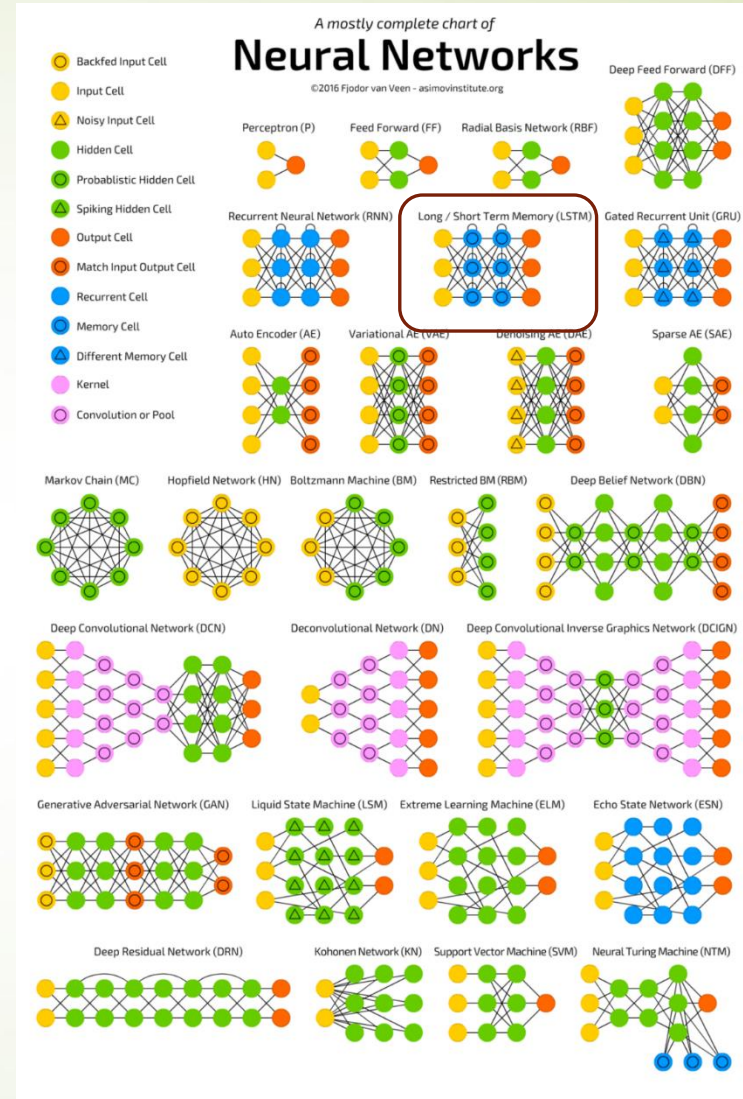


czas (iteracje SSN)



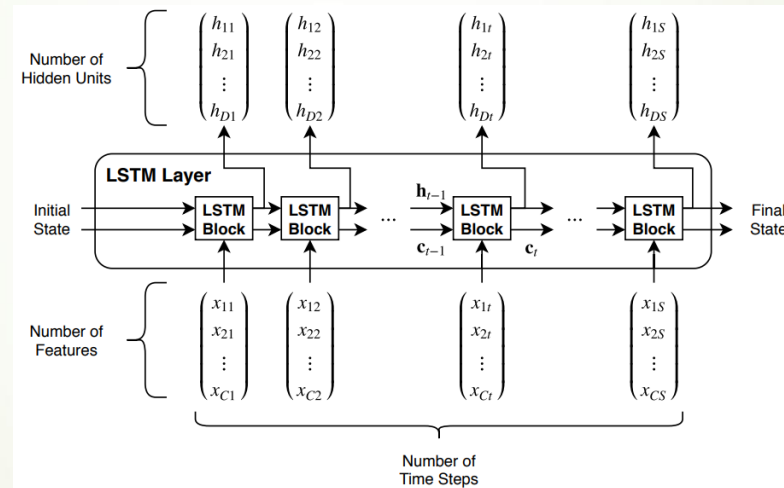
# Long Short-Term Memory Networks (LSTM)

Sieć LSTM jest rodzajem rekurencyjnej sieci neuronowej (RNN), która może nauczyć się **długoterminowych zależności między krokami czasowymi danych sekwencji.**



# Architektura sieci LSTM

Pierwszy blok LSTM wykorzystuje **stan początkowy sieci** i **pierwszy krok sekwencji** do obliczenia pierwszego wyjścia i zaktualizowanego stanu komórki. W kroku  $t$  czas wykorzystuje bieżący stan sieci  $(c_{t-1}, h_{t-1})$  i następny krok sekwencji, aby **obliczyć wyjście** i zaktualizowany **stan komórki  $c_t$** .



Stan warstwy składa się ze **stanu ukrytego** (znanego również jako stan wyjściowy) i **stanu komórki ( $c_t$ )**.

W każdym kroku **warstwa dodaje informacje** do lub **usuwa informacje** ze **stanu komórki**. Warstwa kontroluje te aktualizacje za pomocą **bramek**.

# Architektura sieci LSTM

Składniki kontrolują stan komórki i stan ukryty warstwy.

## Komponent

## Zadanie

Bramka wejściowa (i)

Kontrola poziomu aktualizacji stanu komórki (input gate)

Bramka zapomnienia (f)

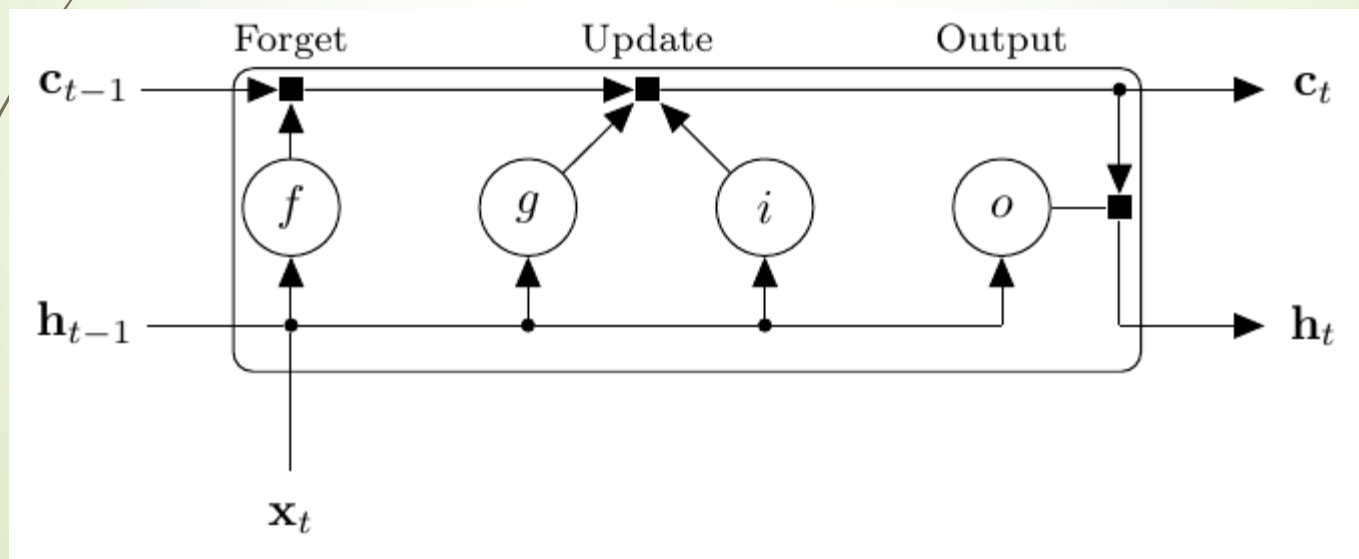
Kontrola poziomu resetowania stanu komórki (forget gate)

Kandydat na komórkę (g)

Dodaj informacje do stanu komórki (cell candidate)

Brama wyjściowa (o)

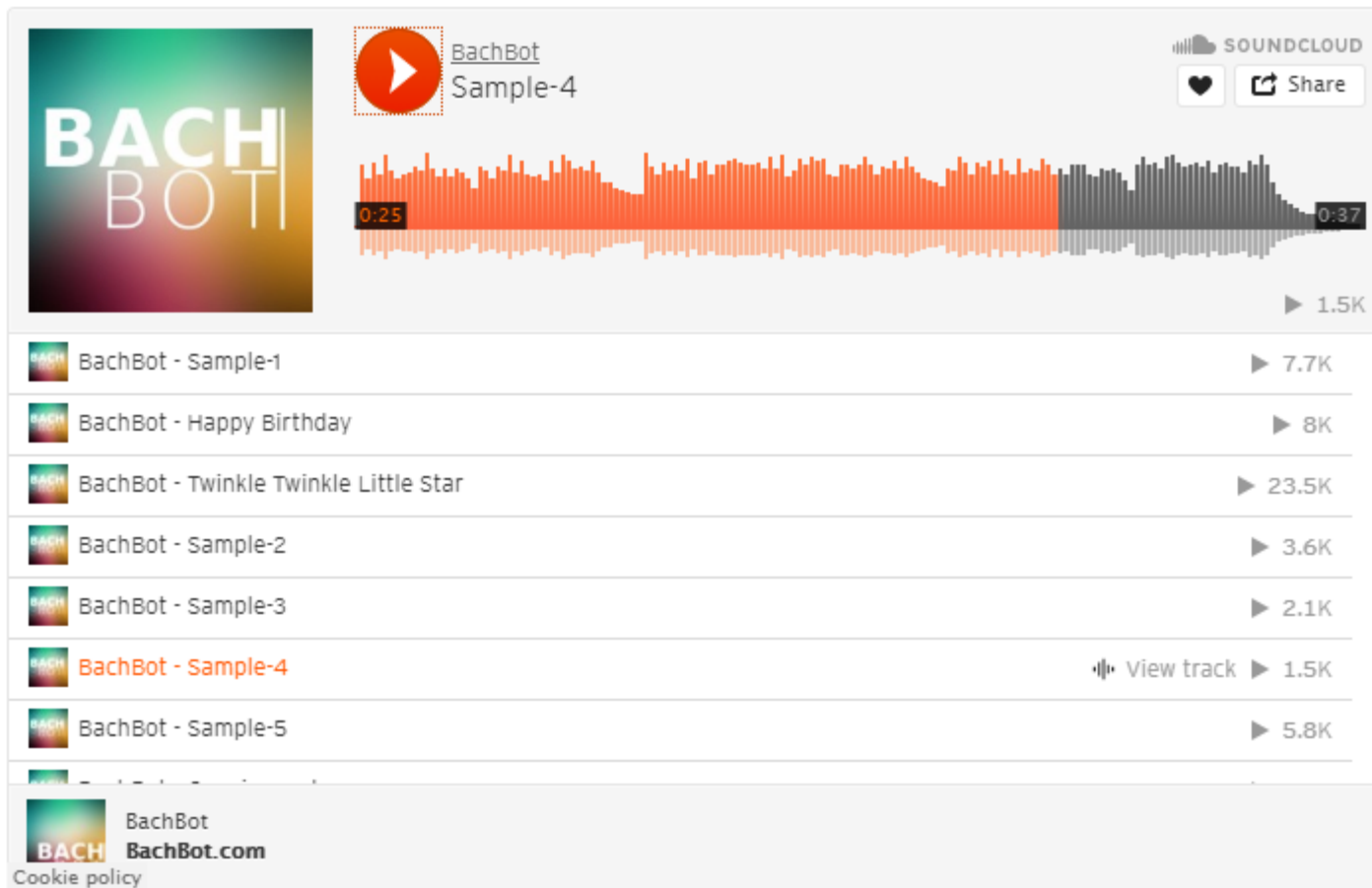
Poziom kontroli stanu komórki dodany do stanu ukrytego (output gate)



Przepływ danych dla kroku czasu  $t$ .

# The BachBot Challenge

Want to Listen?



**BACH BOTI**








**BachBot**  
Sample-4

SOUNDCLOUD

Share

0:25 0:37

▶ 1.5K

 BachBot - Sample-1	▶ 7.7K
 BachBot - Happy Birthday	▶ 8K
 BachBot - Twinkle Twinkle Little Star	▶ 23.5K
 BachBot - Sample-2	▶ 3.6K
 BachBot - Sample-3	▶ 2.1K
 <b>BachBot - Sample-4</b>	▶ 1.5K <a href="#">View track</a>
 BachBot - Sample-5	▶ 5.8K

**BACH BOTI**  
**BachBot**  
**BachBot.com**  
Cookie policy



# Japanese Vowels

## Test LSTM Network

Load the Japanese Vowels **test data**.

XTest is a cell array containing  
**370 sequences of dimension 12 of varying length.**

YTest is a categorical vector of labels "1","2",..."9", which correspond to the nine speakers.

```
miniBatchSize = 27;
```

```
YPred = classify(net,XTest, ...
```

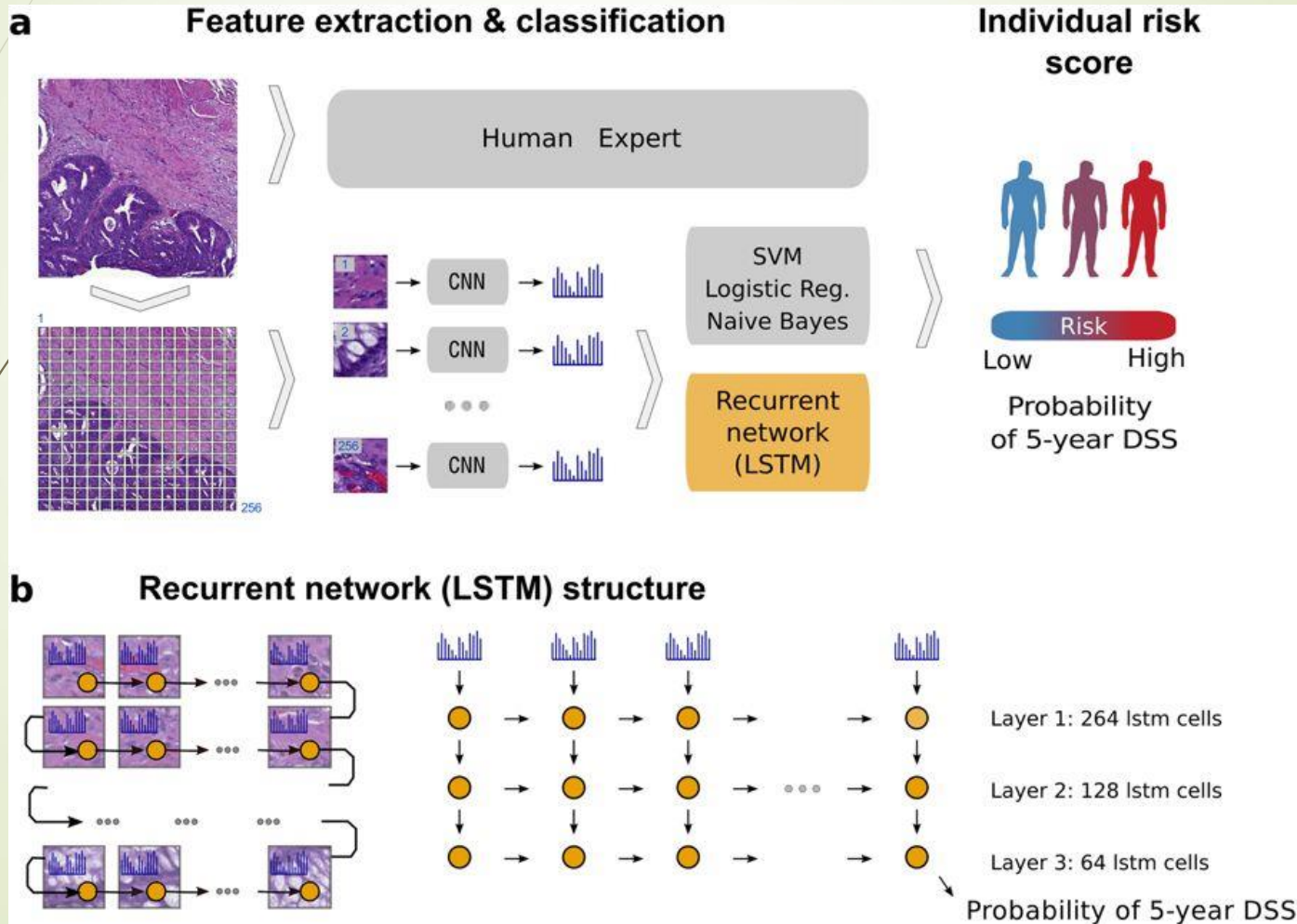
```
    'MiniBatchSize',miniBatchSize, ...
```

```
    'SequenceLength','longest');
```

```
acc = sum(YPred == YTest)./numel(YTest)
```

```
acc = 0.9703
```

# Predykcja raka jelita grubego



# Dziękuję za uwagę !

